

www.mientayvn.com

Dịch tiếng anh chuyên ngành khoa học
tự nhiên và kỹ thuật.

Dịch các bài giảng trong chương trình
học liệu mở của học viện MIT, Yale.

Tìm và dịch tài liệu phục vụ cho sinh
viên làm seminar, luận văn.

Tại sao mọi thứ đều miễn
phí và chuyên nghiệp ???

Trao đổi trực tuyến:

www.mientayvn.com/chat_box_toan.html

KHÁI QUÁT VỀ MÔ HÌNH HOÁ TRONG PLAXIS

- **PM Plaxis** - ĐH công nghệ Delfff - Hà Lan.

Phiên bản *Plaxis V.1* (1987) - phân tích các bài toán ổn định đê biển và đê sông tại các vùng bờ biển thấp tại Hà Lan.

- **GS. R.B.J Brinkgreve và P.A Vermeer** là những người khởi xướng.

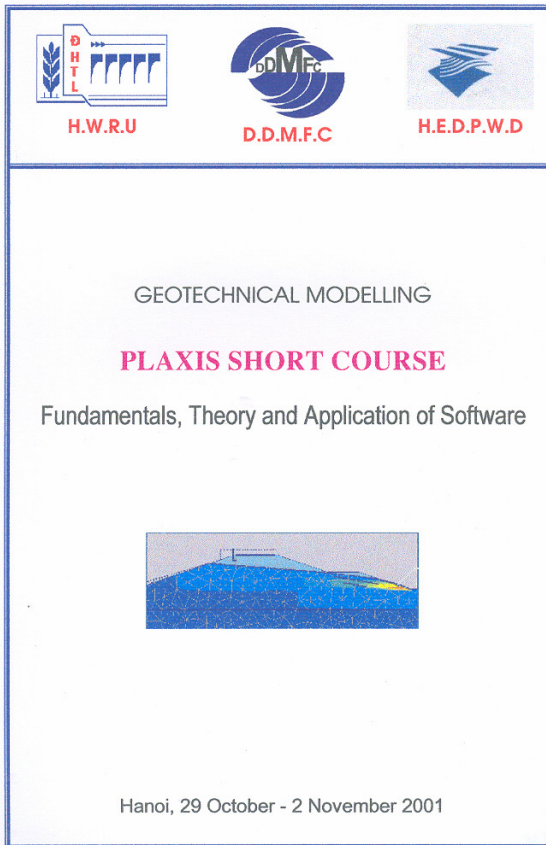
- **Năm 1993** Công ty **PLAXIS BV** được thành lập và từ năm 1998, các phần mềm PLAXIS đều được xây dựng theo phần tử hữu hạn
- **Từ 2000 - 2007** - Bộ PM Plaxis hiện nay gồm 5 modun

Tên	Plaxis V.1	Plaxis V.3	Plaxis Dynamics	Plaxis 3D Tunnel	Plaxis V.8	Plaxis PlaxFlow	Plaxis 3D Found
Năm	1987	1990	2000	2001	2002	2003	2007
							 

Bộ phần mềm PLAXIS

- **Plaxis V.8 - 2D** Phân tích biến dạng và ổn định các bài toán ĐKT theo PTHH - 2D, trường hợp đất bão hòa và không bão hòa;
- **Phân tích động lực theo PTHH - 2D** do tác động nhân tạo và động đất gây ra - Không xét được hóa lỏng trong MT;
- **Plaxis PlaxFlow - V.1** - Phân tích thấm trong môi trường đất đá theo PTHH - 2D. Bài toán thấm ổn định và không ổn định, môi trường đẳng hướng và bất đẳng hướng;
- **Plaxis 3D Tunnel V.2** - Phân tích biến dạng và ổn định theo bài toán ba chiều trong thiết kế đường hầm theo PTHH;
- **Plaxis 3D Foundation - V.1** - Phân tích biến dạng và ổn định các móng bè, móng cọc và công trình biển theo PTHH.

LỚP CHUYỂN GIAO PLAXIS V.7 CHO ĐẠI HỌC THỦY LỢI 29/10 – 2/11/2001 [Chính phủ Hà Lan tài trợ]



INTRODUCTION

The idea to organize this special subject course on Plaxis at Hanoi has been suggested by the Department of Science and International Cooperation to Ing. Peter J.W. Brand, one of the representatives of Plaxis BV, from 1997. Afterward this intention has been discussed again with Mr. Krystian Pilarczyk, R&D Manager of the Hydraulic Engineering Division (DWW), Rijkswaterstaat, Dutch Public Works Department, Delft on the occasion of the Coastal Engineering Workshop organized at HWRU on July 21 - 23 / 1999.

Perceiving that the Plaxis Software is an advanced technology that could successfully solve many problems in design of hydraulic structures, the Dutch Public Works Department, in the framework of long - term cooperation plan between two Ministries, has supported and financed to the transfer of this technology to the HWRU.

Outside the Netherlands, the basic Plaxis course has been given more than 100 times during the last years by Plaxis BV.

PLAXIS 7.2 is a Dutch robust finite element software package, that can be used for the service of education, research, design and assessment of Civil Engineering structures (Hydraulic, Building Construction, Transport).

PLAXIS 7.2 is equipped with special features to deal with the numerous aspects of complex geotechnical problems as deformation analysis, estimation of soil - rock mass stability, seepage - consolidation and stress - deformation with advanced constitutive models for the simulation of non-linear and time-dependent behaviour of soils.

PLAXIS 7.2 also deals with special procedures like hydrostatic and non-hydrostatic pore pressures in the multi-phase soils and modelling of interaction between structures and soil medium with static and dynamic actions.

Therefore **PLAXIS 7.2** can meet our demands in solving actual geotechnical problems as construction of structures on soft soils, inserting construction of tower buildings in urban areas, estimation and treatment of seepage through earth dam - dyke body and foundation, estimation of slope stability and some of problems relating structures under dynamic actions.

Fully automatic mesh generation based on geometric input as well as absorb boundary in dynamic analysis and "User - Friendly" ... are pre-eminence of **PLAXIS 7.2** in using.

With special network security key, **PLAXIS 7.2** also makes convenience for education at Civil Engineering Universities.

As for the concrete content of the course, Peter J.W. Brand's letter sent to us in 1997 will make clear. "We do not intend to use our course as a marketing tool for selling the Plaxis program, we feel our courses serve a much wider goal. Our primary interest is to learn people the necessary backgrounds needed for successful application of the FE method in practical Geotechnical Engineering. Our lectures are not plain theoretical, we like to pay close attention to the aspects necessary to link theory to practice. The theoretical and practical contents of lectures is put into practice during examples for which, of course, we use the Plaxis program".¹

So the participants shall experience it in this course with the balanced mixture of presentations and hands-on computer analyses using **PLAXIS 7.2** for Windows 98/NT/2000.

The participants shall experience it in this course afterwards.

Moreover, because of many time being learned abroad and in country, this course will be certainly inherited a lot of valuable experiences with speakers come from Tulip flower country, planted at place having ground level lower than sea water surface, an worthy pride of the Dutch in common living with Ocean.

Prof. Nguyen Cong Man
Hanoi Water Resources University
October-November/ 2001

¹ Letter dated July 11, 1997 from Dr. P.J.W. Brand, sent to Prof. N.C.Man; Subject: Software & course; Ref. 071197.3

A. Đơn vị dùng trong Plaxis

Loại đơn vị	Đại lượng	Hệ SI	Hệ Mỹ
Đơn vị cơ bản	Chiều dài Lực Thời gian	[m] [kN] [ngày]	[in] [lb] [sec]
Đơn vị hình học	Toạ độ Chuyển vị	[m] [m]	[in] [in]
Tính chất vật liệu	Môđun Young Lực dính đơn vị Góc ma sát Góc chảy Trọng lượng đv Hệ số thẩm	[kN/m ²] = [kPa] [kPa] [độ] [độ] [kN/m ³] [m/ngày]	[psi] [psi] [độ] [độ] [lb/cu in.] [in/sec]
Lực và ứng suất	Lực tập trung Tải trọng tuyến Tải trọng phân bố Ứng suất	[kN] [kN/m] [kPa] [kPa]	[lb] [lb/in] [psi] [psi]
Thấm	Lưu lượng giếng Thấm biên	[m ³ /day] [m/day]	[ft ³ /sec] [ft/sec]

B. Khái quát về mô hình hóa trong PLAXIS

B.1 Ba chương trình nhánh của PM Plaxis

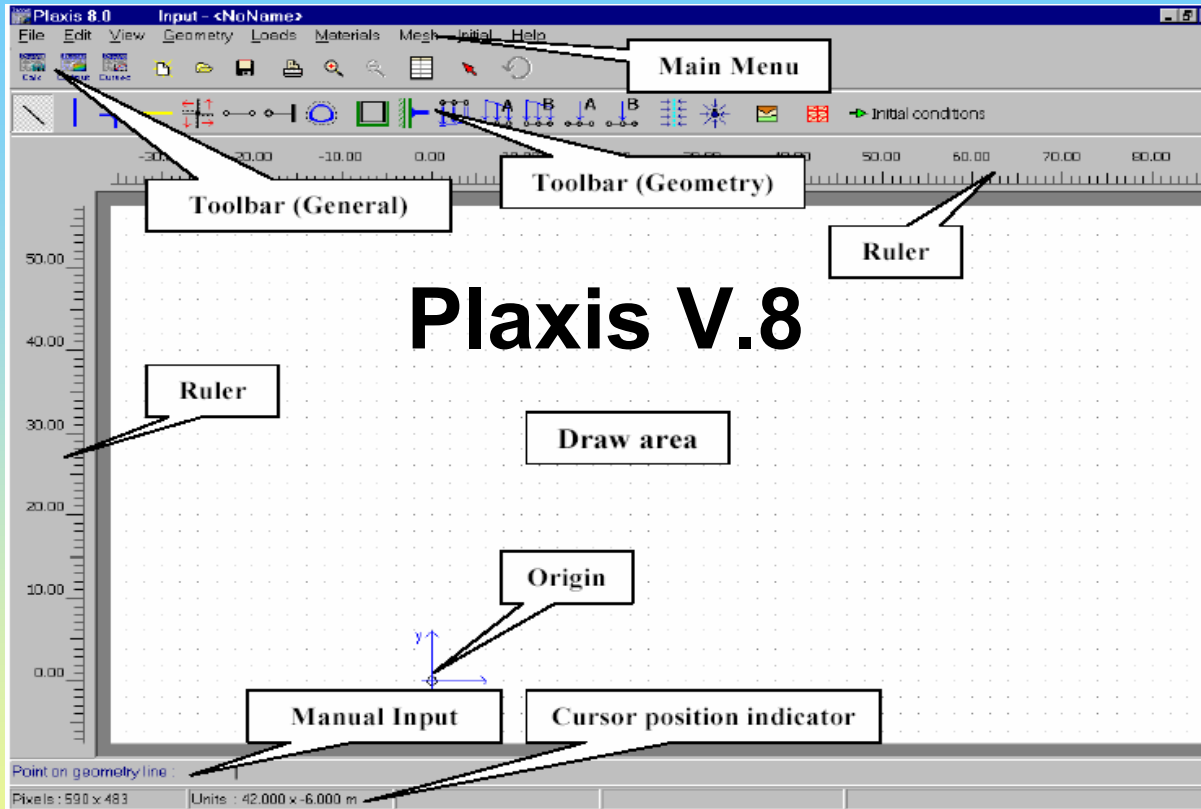
- **Thiết lập sơ đồ công trình - Input Program**
 - Lập *mô hình hình học* (sơ đồ tính toán) + gán các đặc trưng vật liệu cho các tầng đất và kết cấu
 - Lập lưới PTHH (tự động sinh lưới PTHH sau khi lập MH HH)
 - Xác định các điều kiện ban đầu
- **Xác định các “pha” phân tích + PT - Calculation Program**
- **Hiển thị các kết quả phân tích - Output, Curve [đồ thị, bảng biểu]**

⇒ Chương trình dùng “*giao tiếp đồ họa*” [Màn hình là trang giấy, chuột là bút vẽ] - thuận tiện lập MH hình học + tự sinh lưới PTHH.

⇒ Kết quả thể hiện bằng biểu đồ, các đường đẳng trị, các vectơ,...

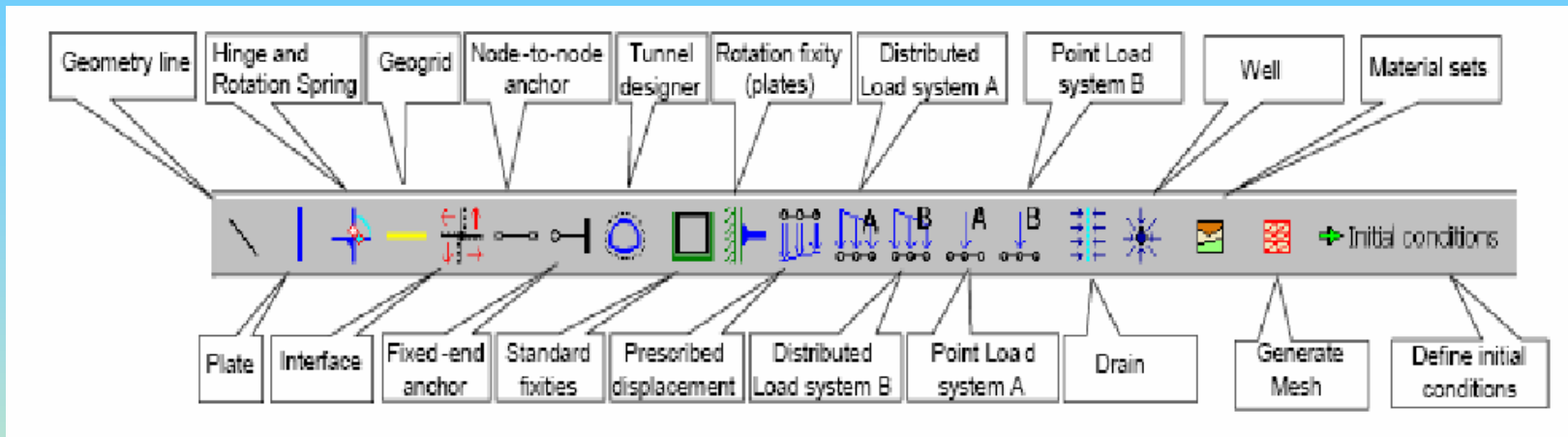
- cho nhận thức trực quan có định lượng, thuận tiện nhận biết kết quả do đó có thể nhanh chóng lựa chọn phương án.

1. Thiết lập sơ đồ công trình - Input program



Tuỳ theo mỗi phần mềm, Plaxis có các menu và thanh công cụ tương ứng nêu trong cửa sổ chính thuộc mỗi phần mềm để *lập mô hình hình học, lập lưới PTHH, xác định các điều kiện ban đầu*

Công cụ định dạng hình học



Tính năng của điểm, đường, cụm và lưới

Điểm

- Xác định điểm đầu và cuối các đường
- Định vị các neo
- Lập các lực điểm (tập trung)
- Cố định điểm
- Làm mịn cục bộ lưới PTHH

Công cụ định dạng hình học

Đường

- Xác định các đường biên vật lý của MH hình học
- Xác định các gián đoạn trong MH hình học như:
 - Tường cù, tải trọng phân bố
 - Phân cách các lớp vật liệu khác nhau hay các “pha” tính toán

Vậy một đường có nhiều chức năng hoặc tính chất

Cum (đơn nguyên)

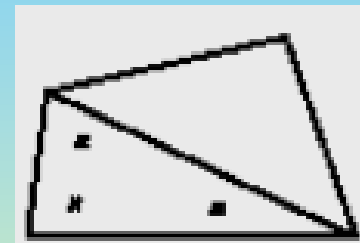
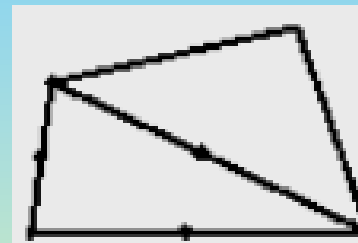
- Vùng khép kín được lập bởi các đường
- **Đặc** trưng cho tính đồng chất của vật liệu

Công cụ định dạng hình học

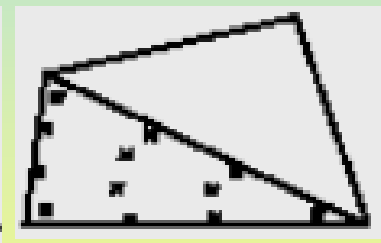
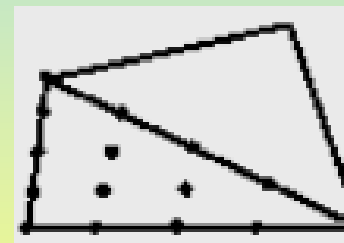
Lưới

- Các phần tử **tam giác**

- 6 nút, 3 điểm US



- 15 nút, 12 điểm US



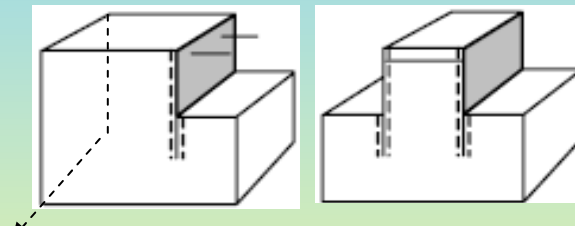
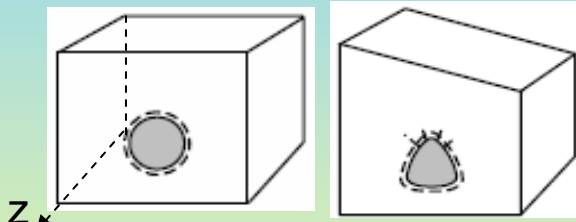
- Chuyển vị được tính tại vị trí nút
- Ứng suất được tính tại các điểm tích phân Gauss

Các mô hình hình học thành phần



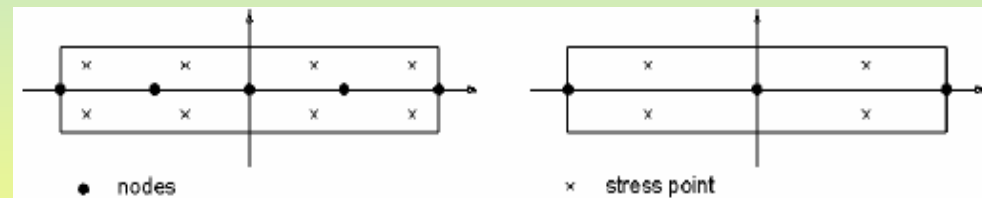
Đường hình học – tiếp giáp giữa các tầng đất, ...

Plate (Tấm) - Kết cấu mỏng có độ cứng chịu uốn và pháp hướng tương đối lớn, (dùng Line) được tạo bởi các PT dầm. Ví dụ: bản, tường, vỏ (hầm).

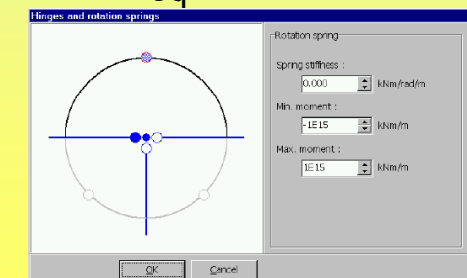


Các PT *tấm* 3 và 5 nút có
2 độ CV tự do: u_x , u_y và
1 độ xoay tự do trên mặt x,y.

Điểm US nằm cách trên và dưới đường tâm tấm một đoạn $1/2d_{eq}\sqrt{3}$



Hinges (Bản lề) và **Rotation Springs** (Lò so xoay)
MH nối tiếp, xoay tự do (liên tục và không liên tục)
tại giao điểm các PT dầm

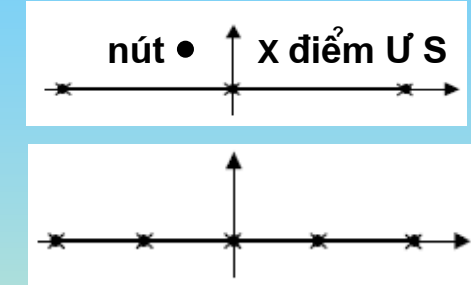


Các mô hình học thành phần

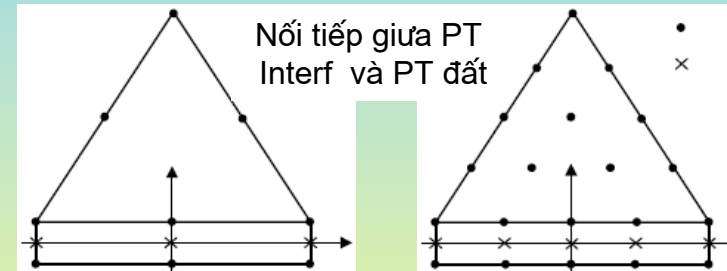


Geogrids - PT 3 hay 5 nút, CV 2 độ tự do: u_x, u_y ;

- Vật liệu đàn hồi tuyến tính;
- Không có độ cứng chịu uốn (EI), chỉ có độ cứng pháp hướng (EA - chỉ chịu kéo, không chịu nén)
- Tương tác Đất/Geogrid \Rightarrow dùng MH “Interfaces”



Interface (Giao diện). Phần tử nối tiếp có độ dày ảo, MH hoá sự *trượt* giữa đất - kết cấu tấm, *ngăn cản dòng thẩm* vuông góc với PT trong phân tích thẩm và cố kết thẩm.



Tính chất vật liệu, đặc trưng bởi $C_{inter} \Rightarrow$ hệ số triết giảm: $C_{inter} = R_{inter} \cdot C_{soil}$ và $\tan\phi_{inter} = R_{inter} \cdot \tan\phi_{soil}$ với:

$$\text{Interaction sand/steel} = R_{inter} \approx 2/3$$

$$\text{Interaction clay/steel} = R_{inter} \approx 0.5$$

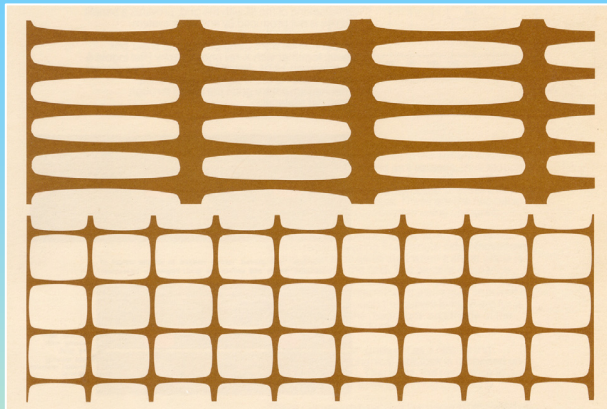
$$\text{Interaction sand/concrete} = R_{inter} \approx 1.0 - 0.8$$

$$\text{Interaction clay/concrete} = R_{inter} \approx 1.0 - 0.7$$

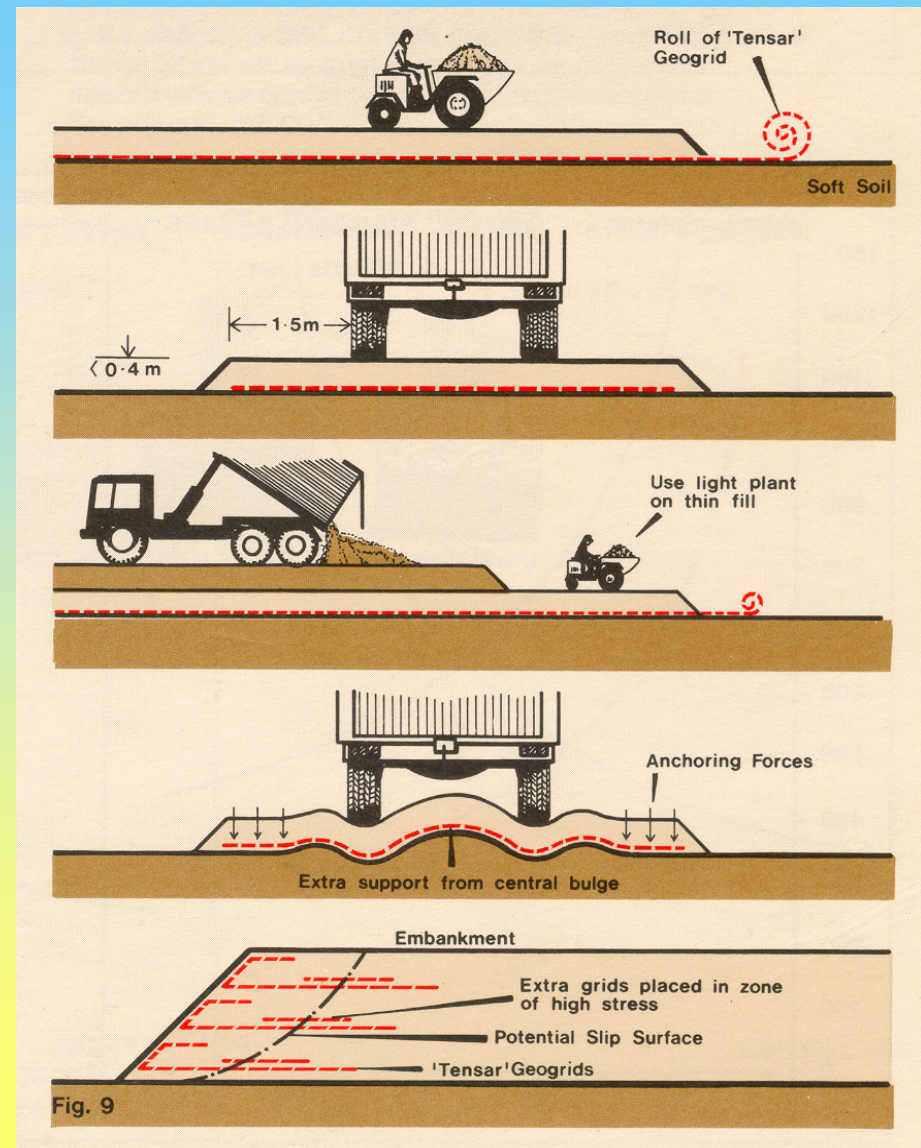
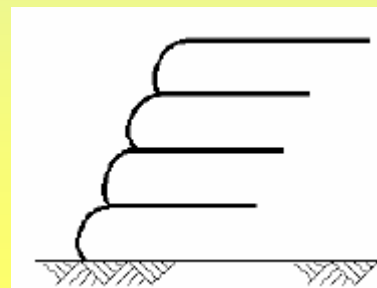
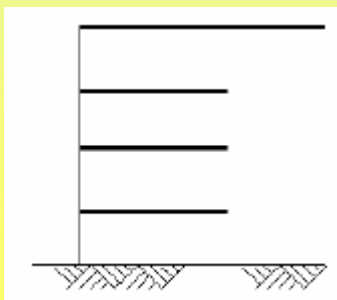
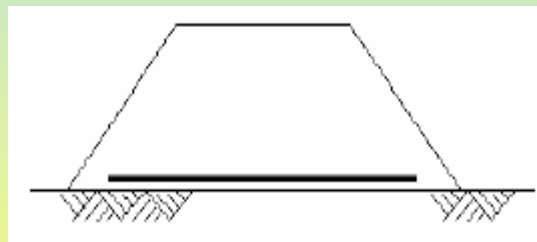
$$\text{Interaction soil/geogrid} = R_{inter} \approx 1.0 \text{ (interface may not be required)}$$

$$\text{Interaction soil/geotextile} = R_{inter} \approx 0.9 - 0.5 \text{ (foil, textile)}$$

Ví dụ sử dụng GEOGRID



Geogrid

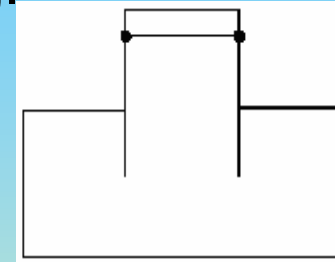


Các mô hình học thành phần



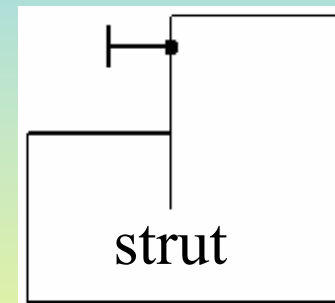
Node-To-Node Anchors. Để MH neo, cột và thanh chống.

- Phần tử đòn dẻo
 - Nối hai điểm hình học
 - Đặt ứng suất trước.
- UD: anchor, column, rod

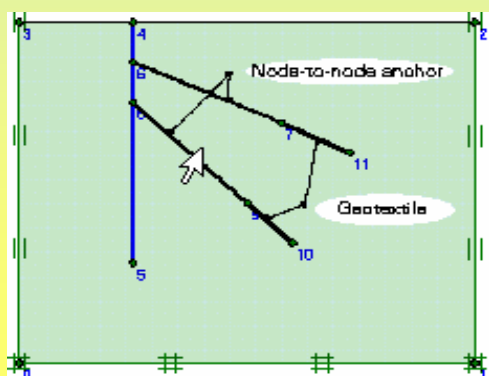


Fixed-End Anchors. Để MH neo, thanh chống, cột chống

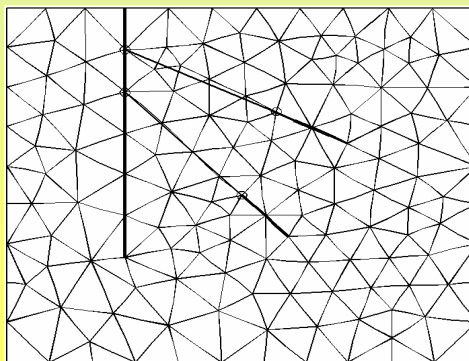
- Phần tử đòn hồi;
- Một đầu đặt vào vật hình học, đầu kia đặt cố định
- Đặt theo góc tuỳ ý và có thể tạo ứng suất trước



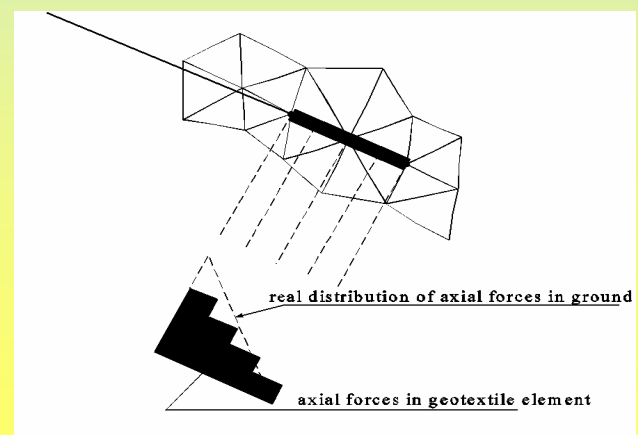
Ví dụ mô hình hóa “Ground Anchor”



Input geometry



Generated mesh

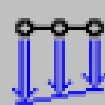
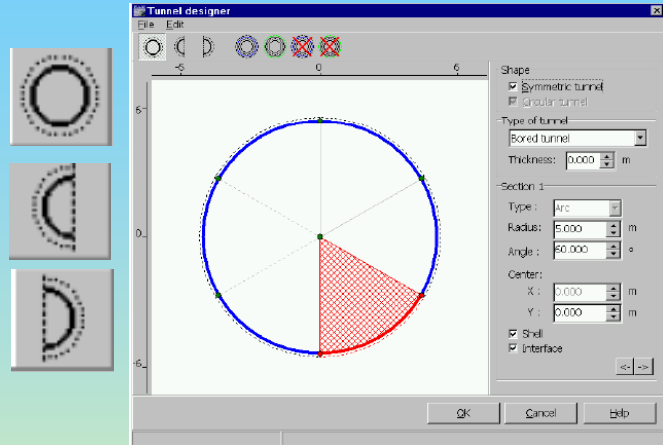


Axial forces in ground anchor

Các mô hình học thành phần

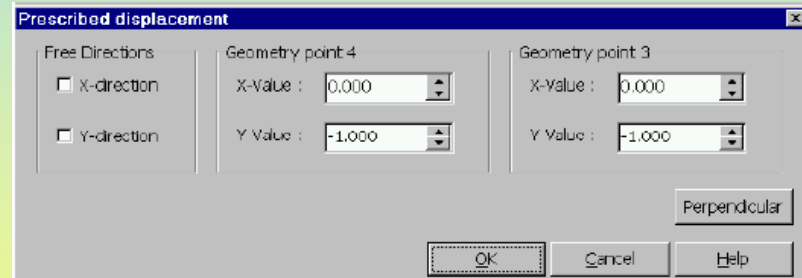


- "**Tunen**". Tạo mặt cắt tunen tiết diện tròn hoặc không tròn: vỏ chống và giao diện. Cửa sổ "Tunnel Designer" cho tạo "Input".
- Cho 3 loại tunen: Bore Tunnel, NATM Tunnel (New Austrian Tunneling Method) và Tunnel người dùng tự lập.



Prescribed Displacement

(Chuyển vị quy định) Đặt vào MH để kiểm soát chuyển vị của một điểm



(Standard) Fixities – MH chuyển vị bằng không. Phân biệt $u_x = 0, u_y = 0$ và $u_x = u_y = 0$. Ví dụ: dùng để mô phỏng bài toán cửa lật.

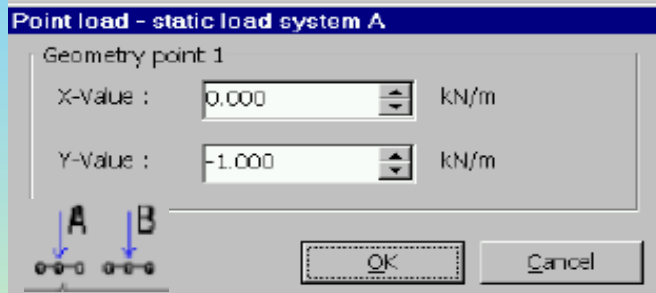


Rotation Fixities (Định vị xoay) - MH gắn độ tự do xoay của một tấm quanh trục z.

Các mô hình học thành phần

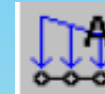


Tải trọng tập trung A.

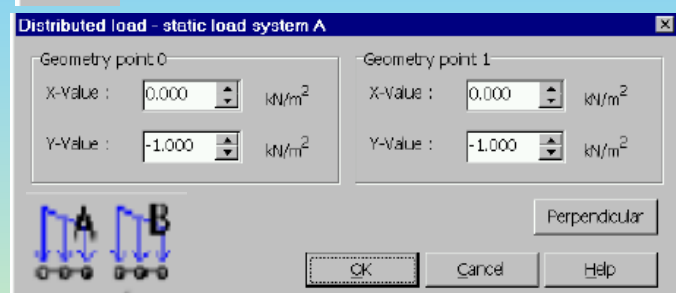


Input window for point load

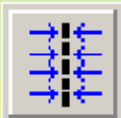
Theo mặc định, các giá trị đưa vào lấy bằng -1. Tăng tải bằng ($\sum M_{loadA}$ hay $\sum M_{loadB}$)



Tải trọng phân bố A.



Input window for distributed load



Drains (Tiêu thoát nước). Mô phỏng các đường trong MH hình học tại đó áp lực nước lỗ rỗng dư lấy bằng 0.

Lựa chọn này chỉ dùng khi phân tích cố kết thấm hoặc tính dòng thấm của nước dưới đất.



Well (Giếng). Mô phỏng các điểm quy định trong MH hình học tại đó lưu lượng bị rút đi từ nguồn hoặc bù vào khối đất.

Các mô hình học thành phần



Tạo lập và gán các tệp dữ liệu

- Vào các thông số MH và “data sets” trong “data base” vật liệu
- Gán tệp dữ liệu cho các thành phần hình học (clusters) bằng “drag và drop”



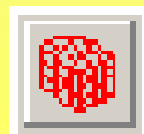
Tạo lưới các PTHH 2D

- Hoàn toàn tự động tạo lưới trong MH hình học
- Lựa chọn làm mịn tổng thể và cục bộ lưới

Tạo lưới các PTHH 3D



MH 3D –Tunnel

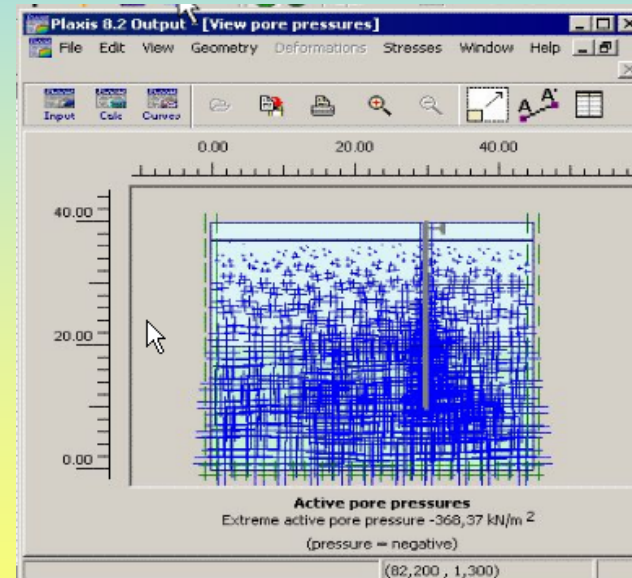
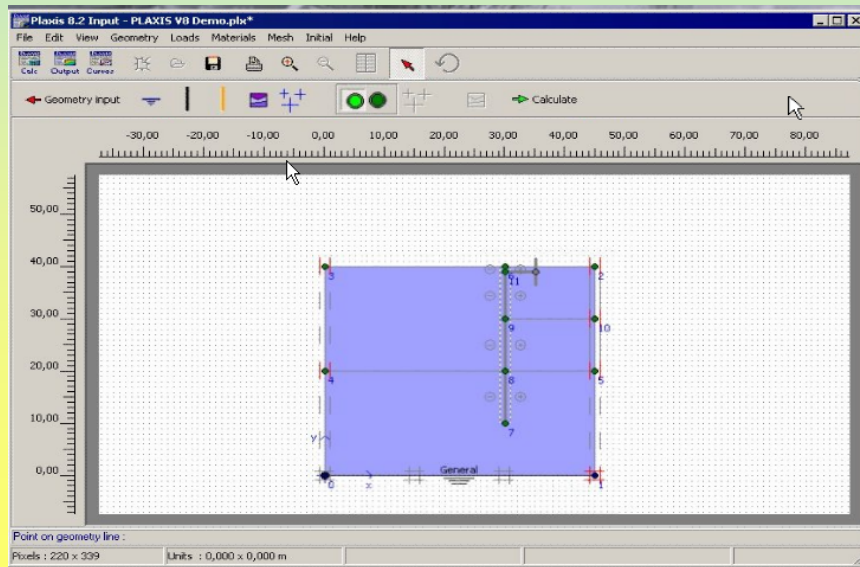


MH 3D – Foundation

Lập các điều kiện ban đầu



- Tạo lấp áp suất lỗ rỗng ban đầu bằng đường mặt nước hoặc từ tính thấm: nhập TLĐV của nước và lập cao trình đường mặt nước trước khi tạo lấp áp suất nước lỗ rỗng



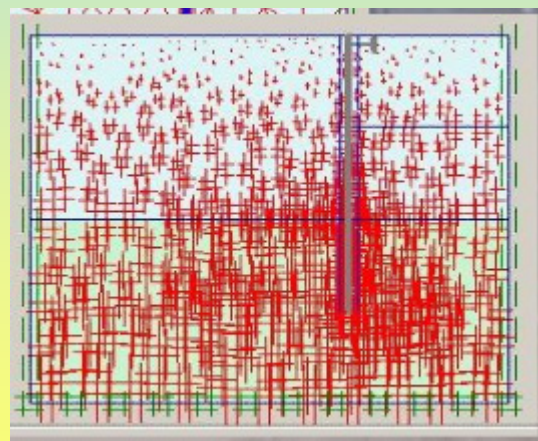
Active Pore Pressure

Lập các điều kiện ban đầu

- Chuyển nút: tạo lập US ban đầu và “geometry mode”

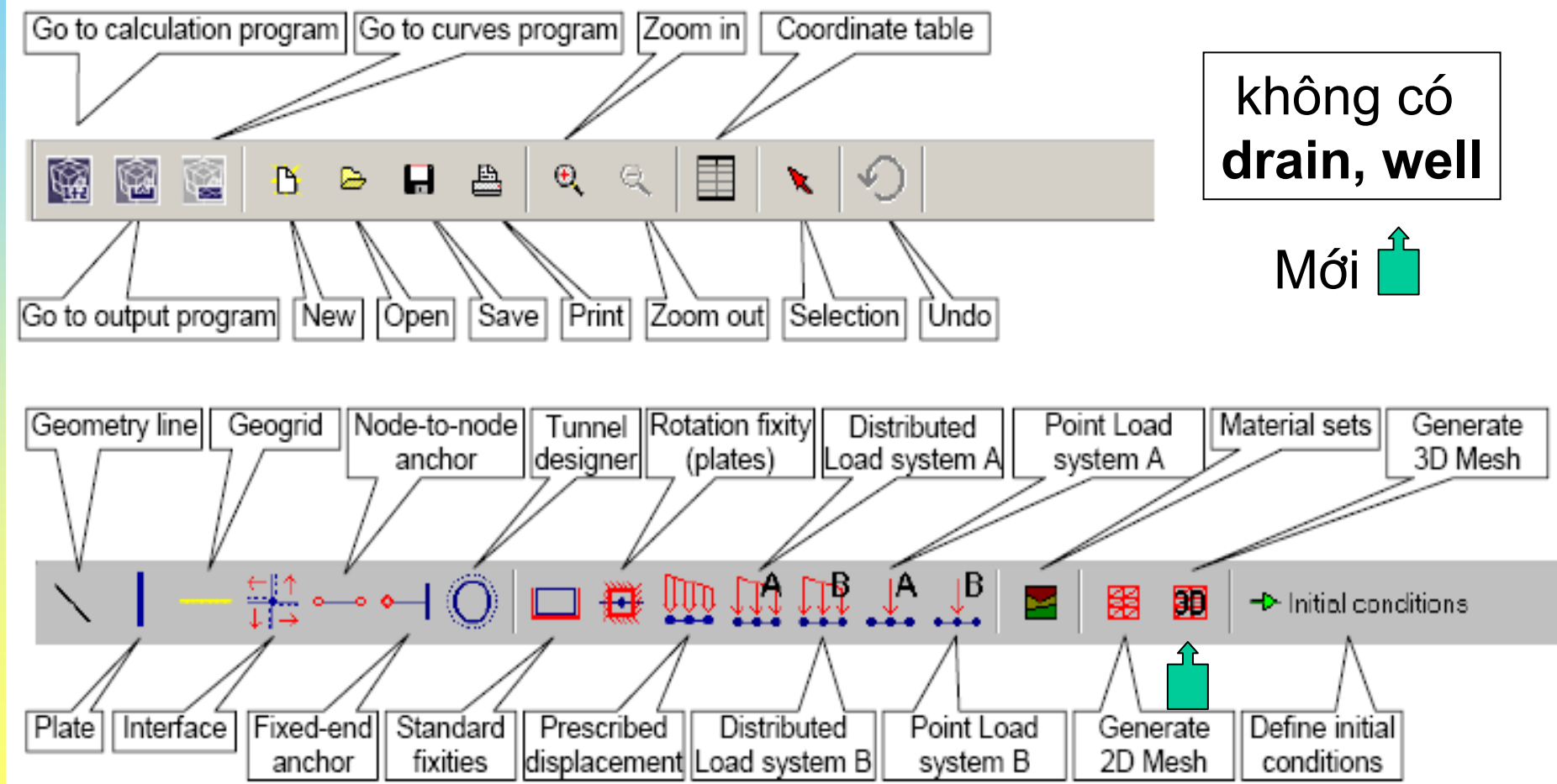


- Lập dạng hình học ban đầu
- Tạo lập các ứng suất ban đầu (K_0 procedure)

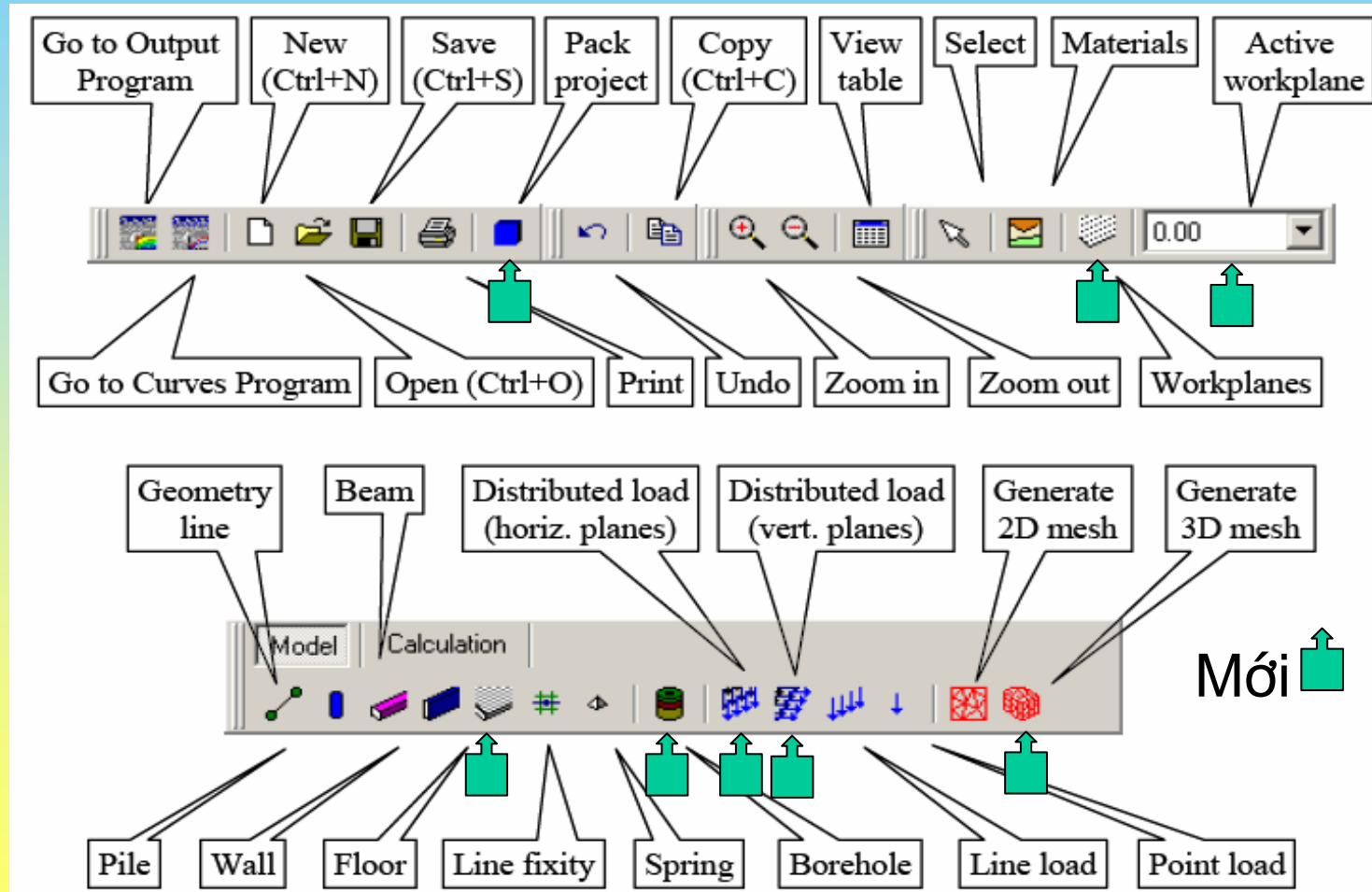


Initial Stresses

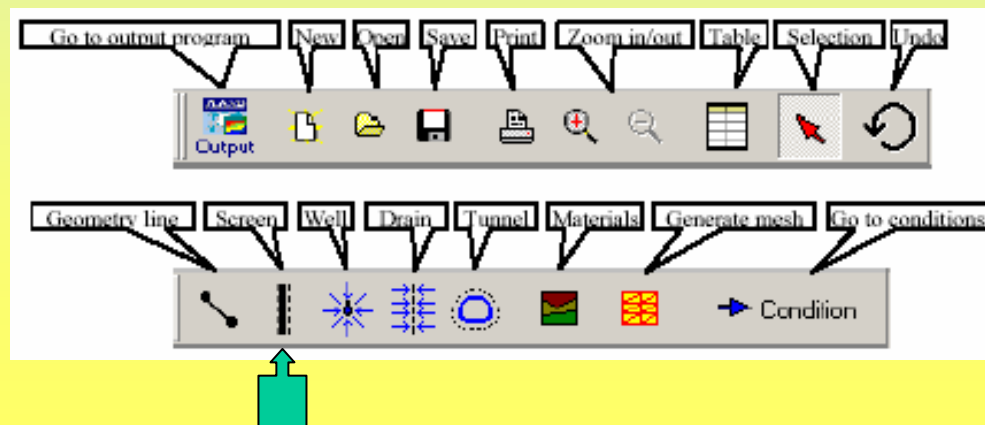
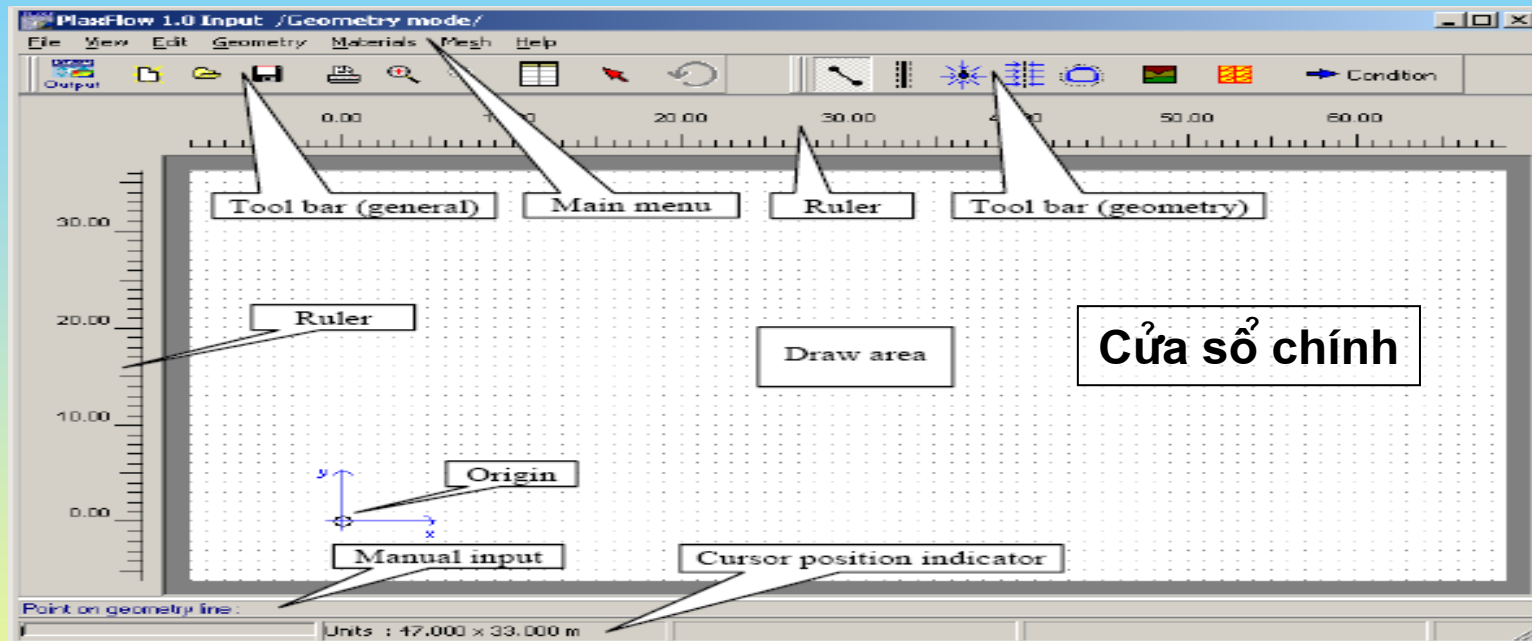
Công cụ định dạng hình học của PLAXIS 3D Tunnel



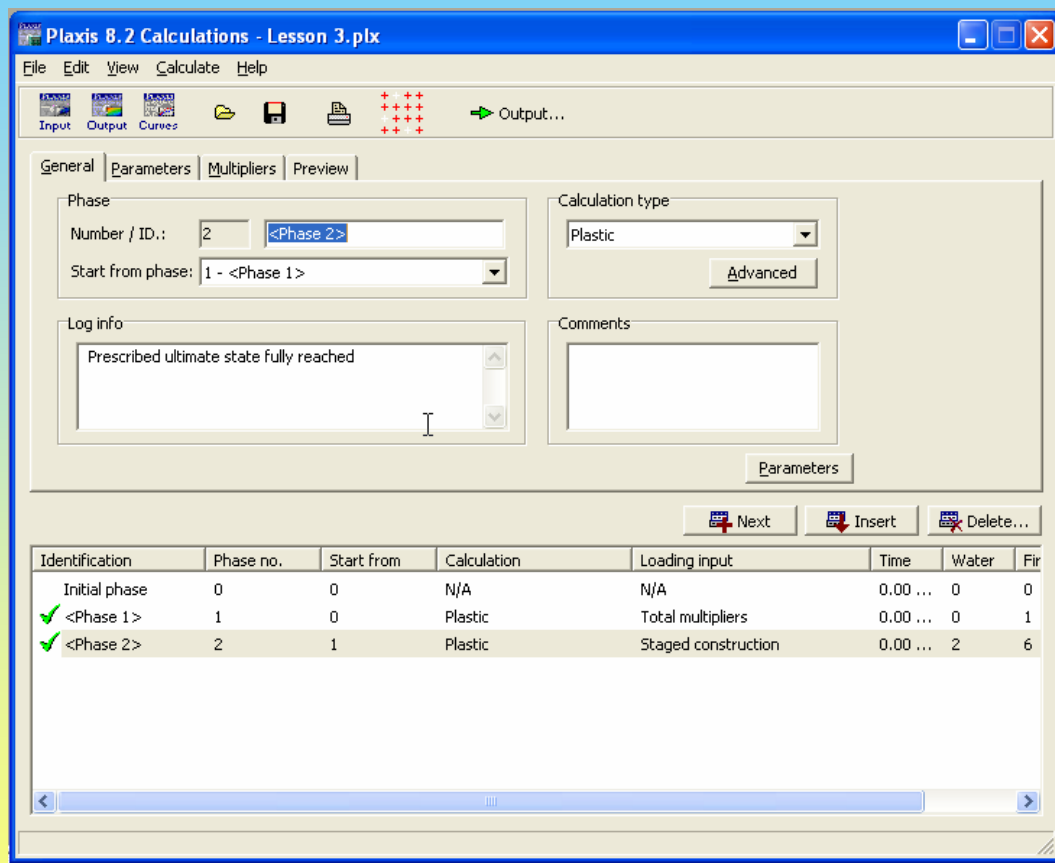
Công cụ định dạng hình học của PLAXIS 3D Foundation



Công cụ định dạng hình học của Plaxis - PlaxFlow

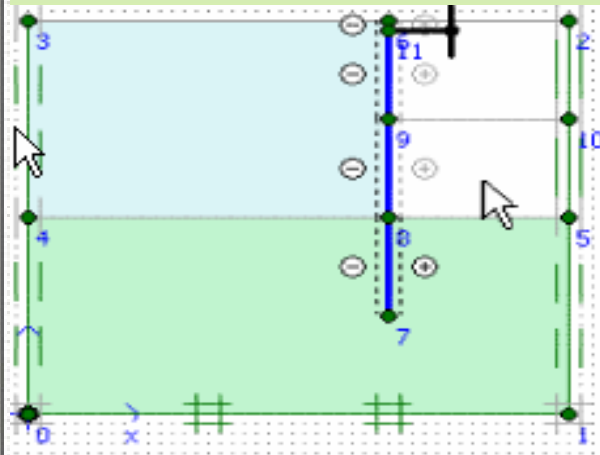
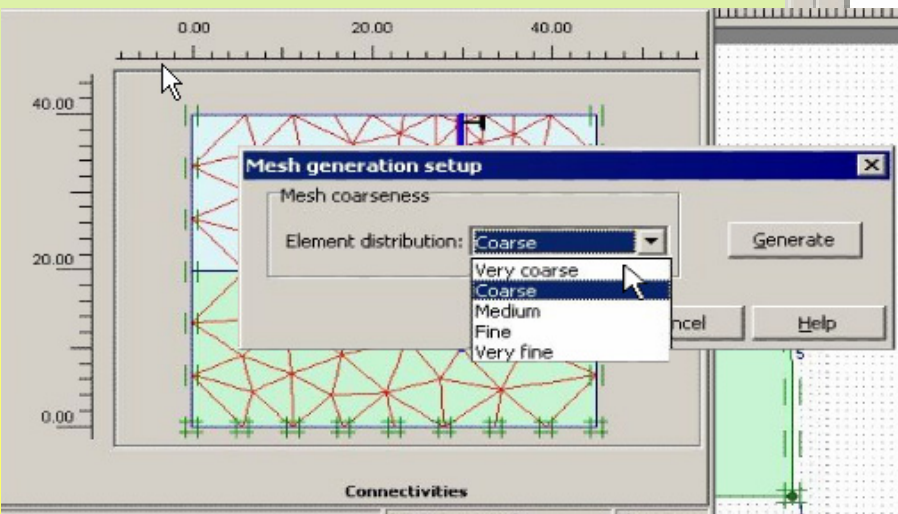
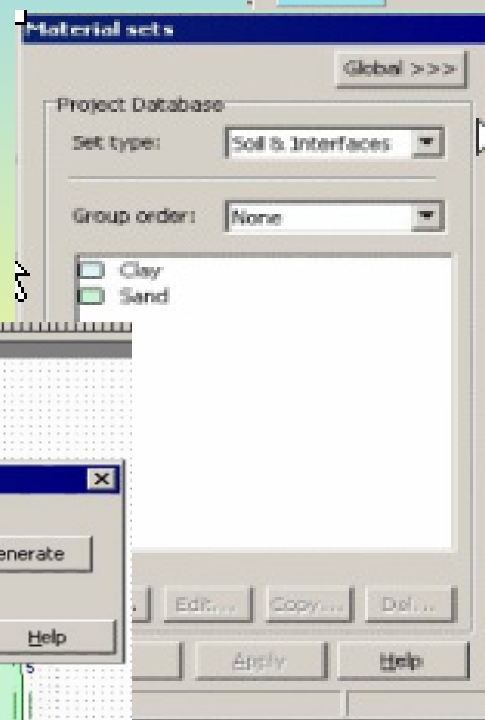
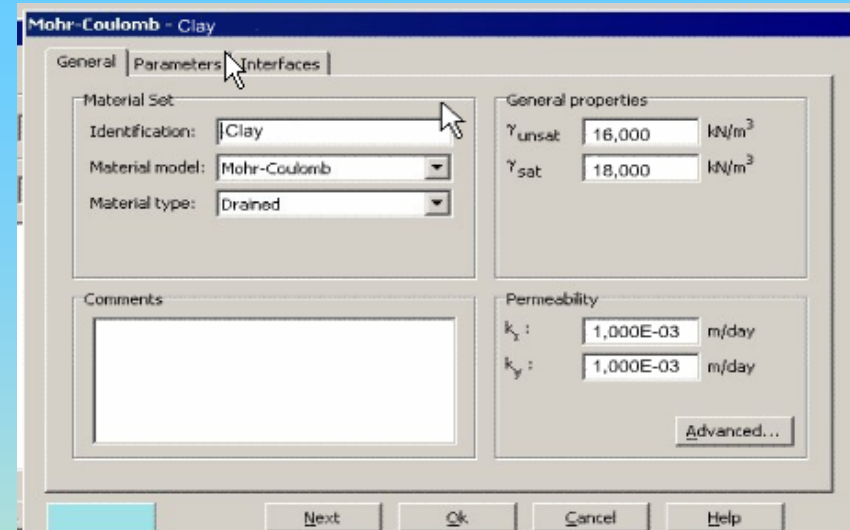


2. Xác định các “pha” tính toán và phân tích Calculation Program

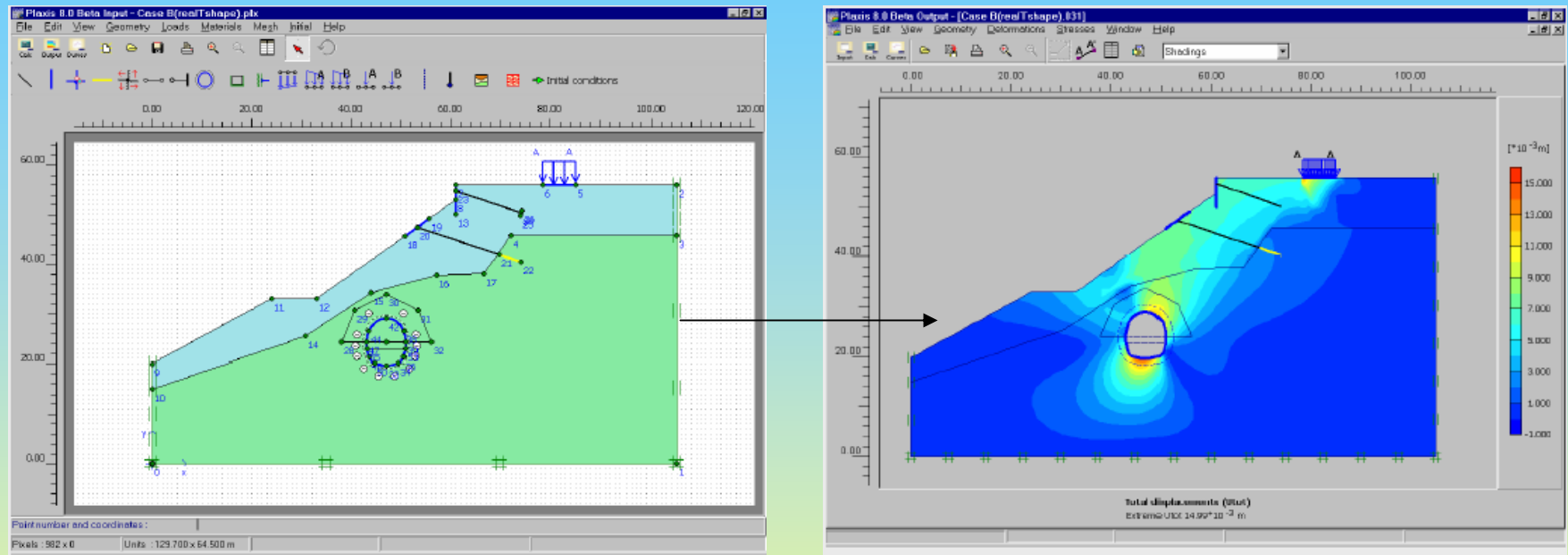


- Tính toán theo đòn hồi, cố kết, triết giảm Phi/c và phân tích động
- Cập nhật lưới
- Nhập gia tải: “Multipliers” hay lập “Staged Construction”
 - Thay đổi điều kiện mực nước
 - Các pha tính có thể xác định trước và thực hiện tức thời

Lấy và gán dữ liệu vào MH HH Làm mịn lưới Tính toán – phân tích

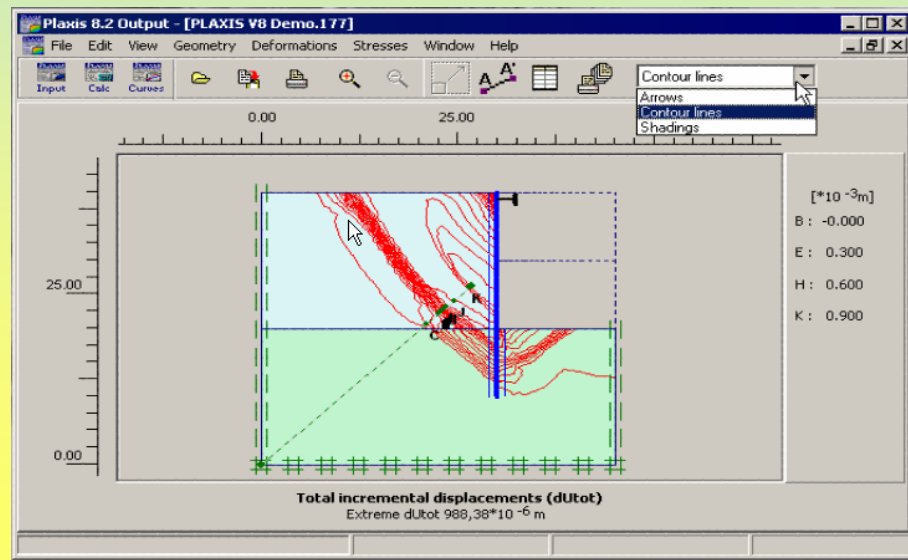
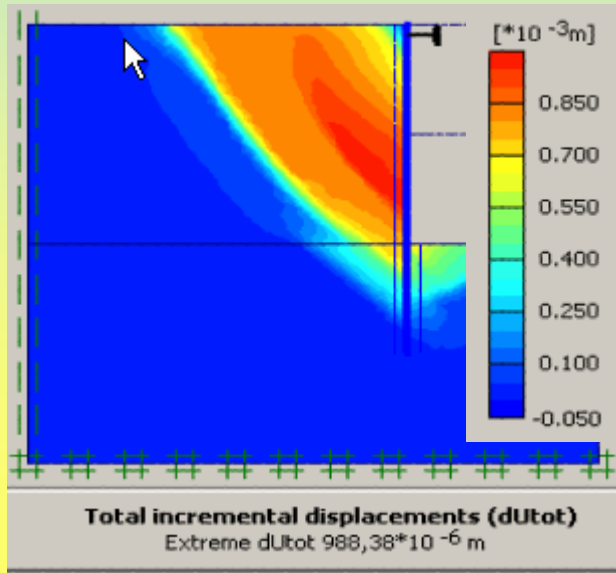
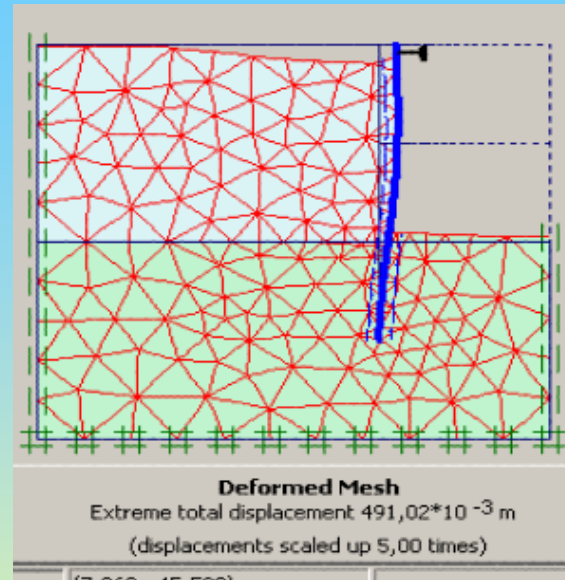
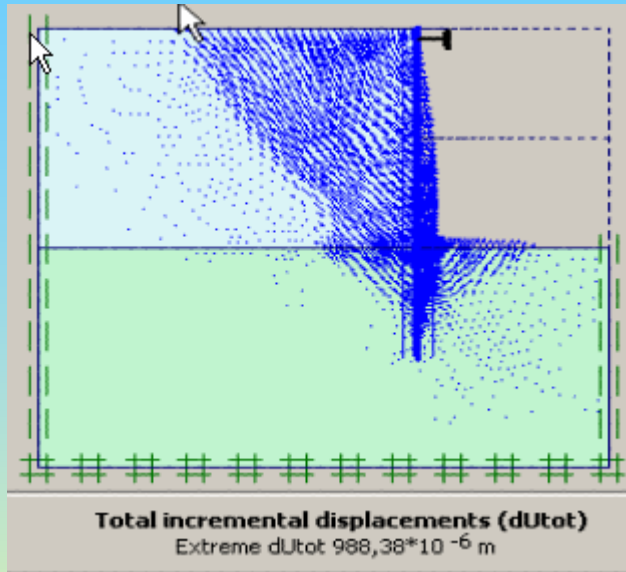


3. Xem kết quả - Output – Curves

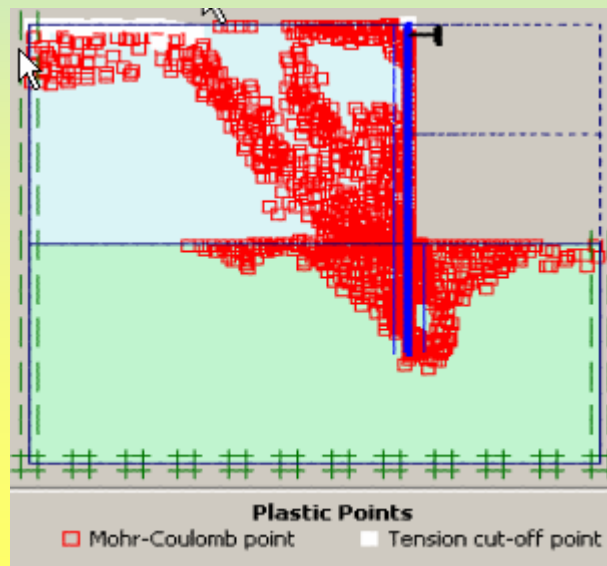
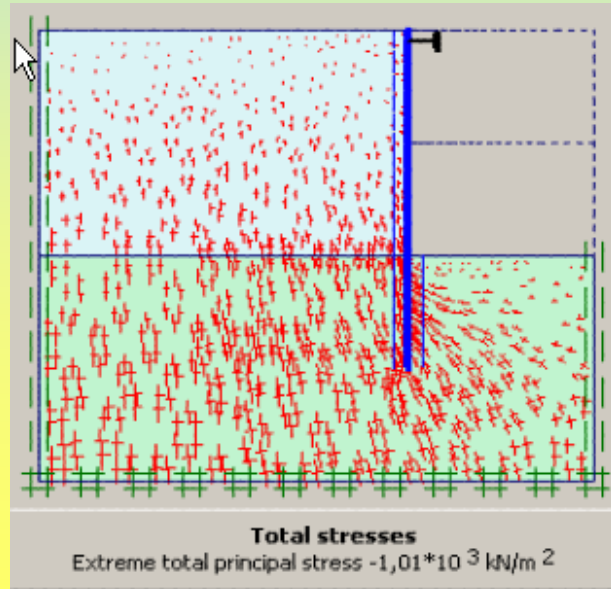
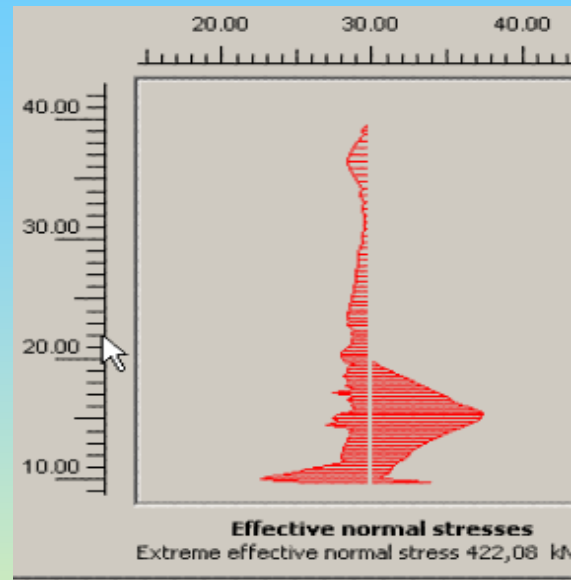
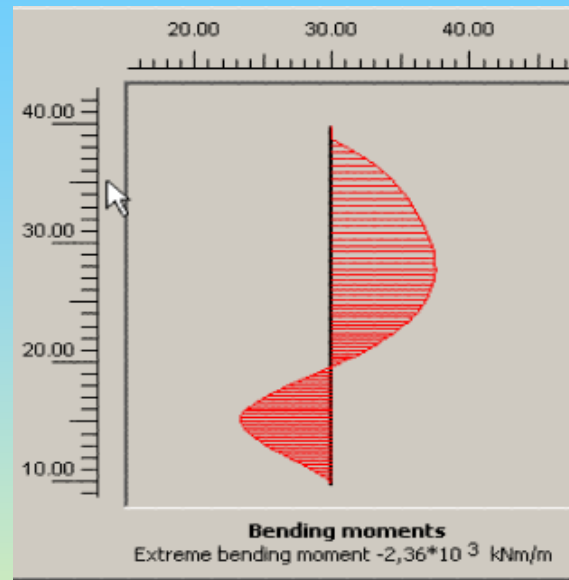
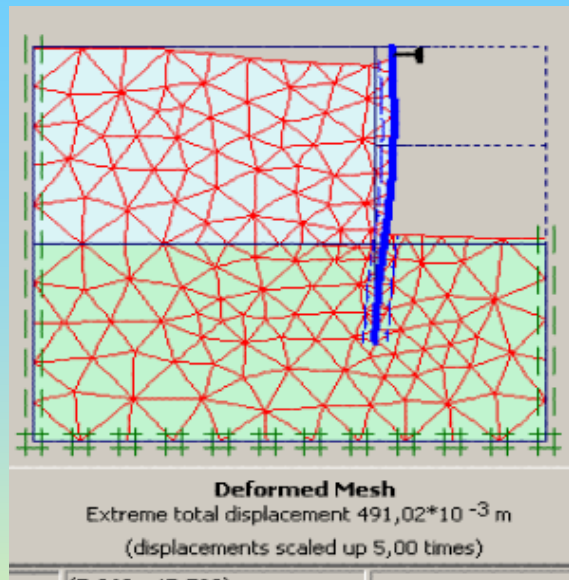


- Xuất đồ thị và bảng của các giá trị chuyển vị, ứng suất và các lực kết cấu
- Các “Output” trong các mặt cắt
- Có thể mở đồng thời các cửa sổ “output” để so sánh – đối chiếu các kết quả

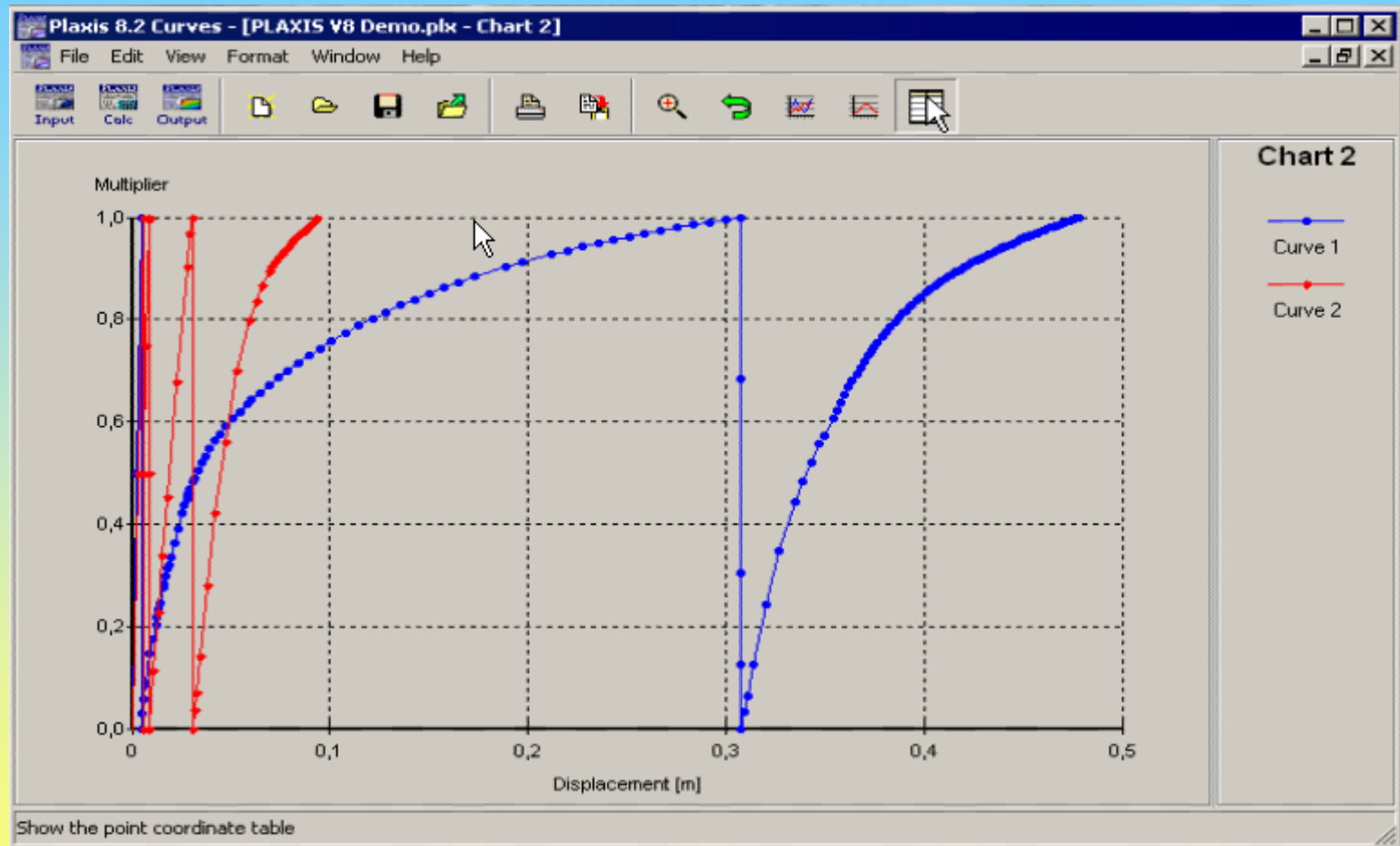
Ví dụ một số output Plaxis 8.2



Ví dụ một số output Plaxis 8.2



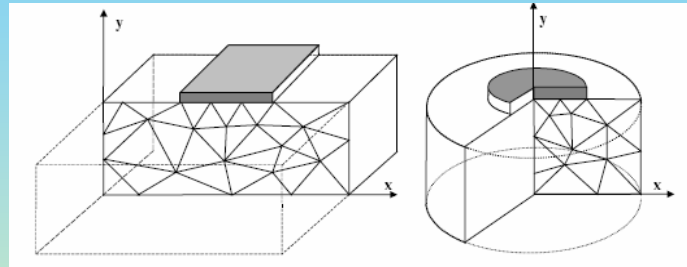
Ví dụ một số output Plaxis 8.2



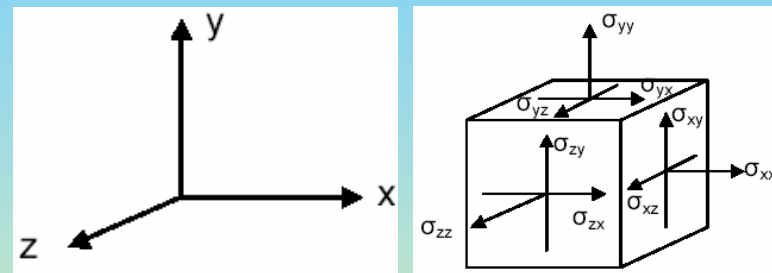
The curves are generated on the basis of the selected option.
In this example the displacement is set against the progress of excavation

B.2 Các loại bài toán trong PLAXIS

1. Bài toán biến dạng phẳng và đối xứng trực, tích hợp với PlaxFlow để xét ảnh hưởng thẩm



biến dạng phẳng đối xứng trực



• Hệ quy chiếu

BT phẳng: MH được tạo trên mặt x,y;

BT đối xứng trực: x - tọa độ bán kính, y - tọa độ trực, z - phương tiếp tuyến.

• Quy ước dấu - Ư.S & lực nén, AL lõi rỗng: Âm.

- Ư.S & lực kéo: Dương

• Đơn vị dùng: Hệ SI (Hệ đơn vị quốc tế) và hệ Anh - Mỹ

• Gia tốc, trọng lượng và khối lượng: $g = 9,8\text{m/sec}^2$; $m = \gamma/g$; 28

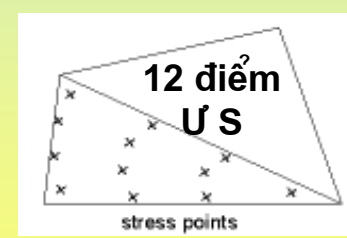
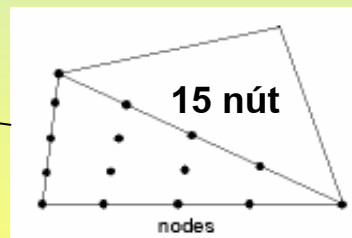
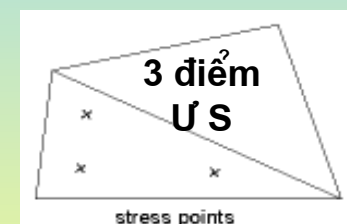
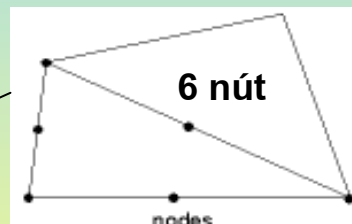
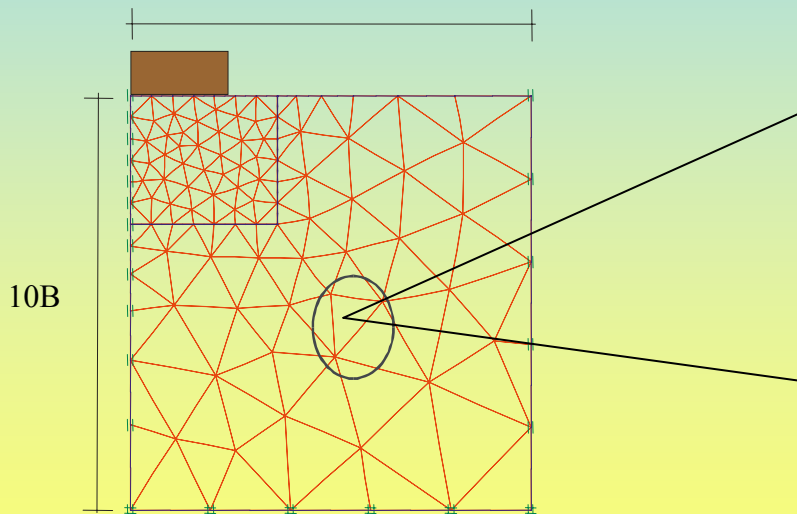
Lưới các phần tử

- Bộ PM Plaxis được xây dựng theo phương pháp PTHH:
- Rời rạc hoá miền liên tục ==> các điểm rời rạc ==> lưới các PT
- Các phương trình toán học liên tục ==> các PTr toán học rời rạc (đại số)
- Lưới các PT ==> tam giác: điểm, đường và lưới



MH 2D - Plaxis - Có 2 lựa chọn số PT: PT 6 nút và PT15 nút

10B



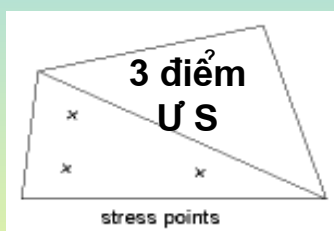
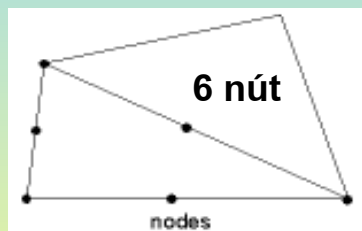
-Sau khi lập xong MH hình học
==> tự sinh lưới



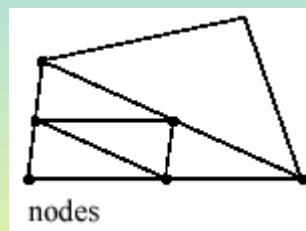
Lưới các phần tử



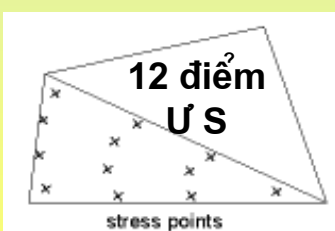
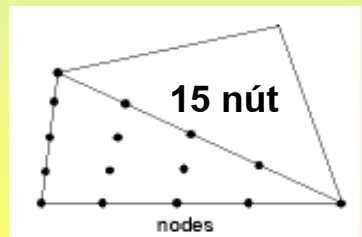
MH 2D – PlaxFlow – Trong phân tích thấm, PlaxFlow vẫn dùng KN “Plane strain” để “tích hợp” với MH 2D của Plaxis V8 [tương tự SEEP/W - SIGMA/W], song PlaxFlow luôn dùng *PT 3 nút, 1 điểm US*.



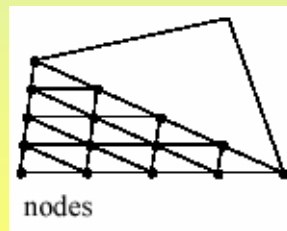
⇒



*PT 6 nút thành
4 PT 3 nút*



⇒



*PT 15 nút thành
16 PT 3 nút*

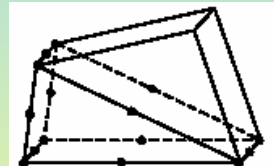
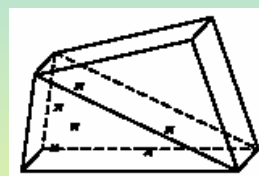
Lưới các phần tử

2. Bài toán 3D

3D MH 3D –Tunnel

Tạo chiều thứ 3 cho MH
bằng "z-planes" và "slices"

Tự sinh lưới



Tấm 15 nút

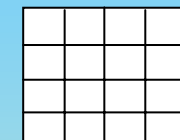
Dùng chung cho cả 3D Tun
và 3D Found.



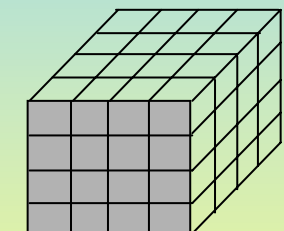
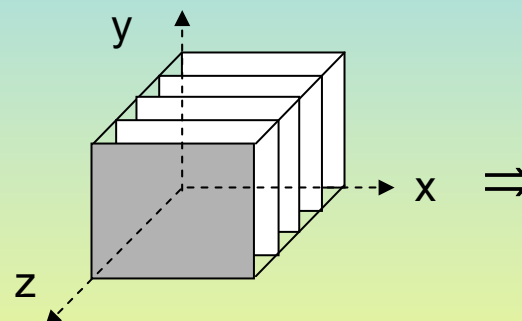
Mặt cắt xy



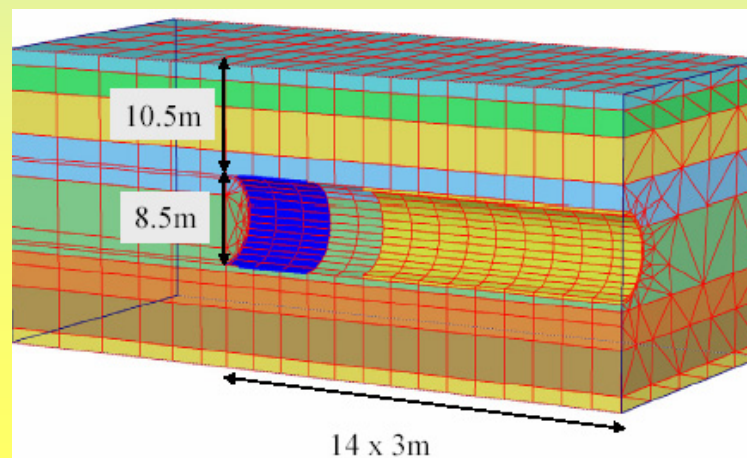
tự sinh lưới



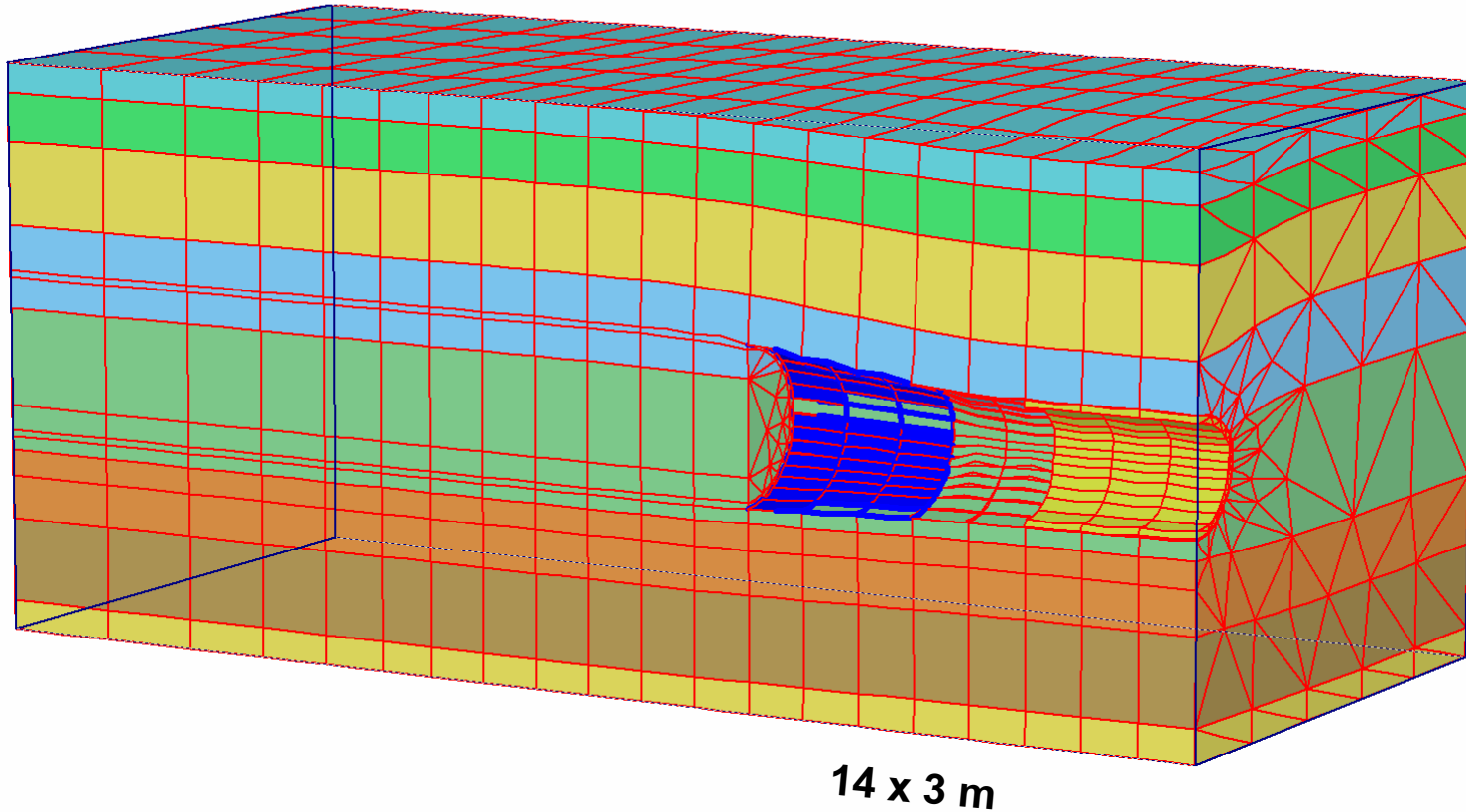
Lưới 2D



Lưới 3D

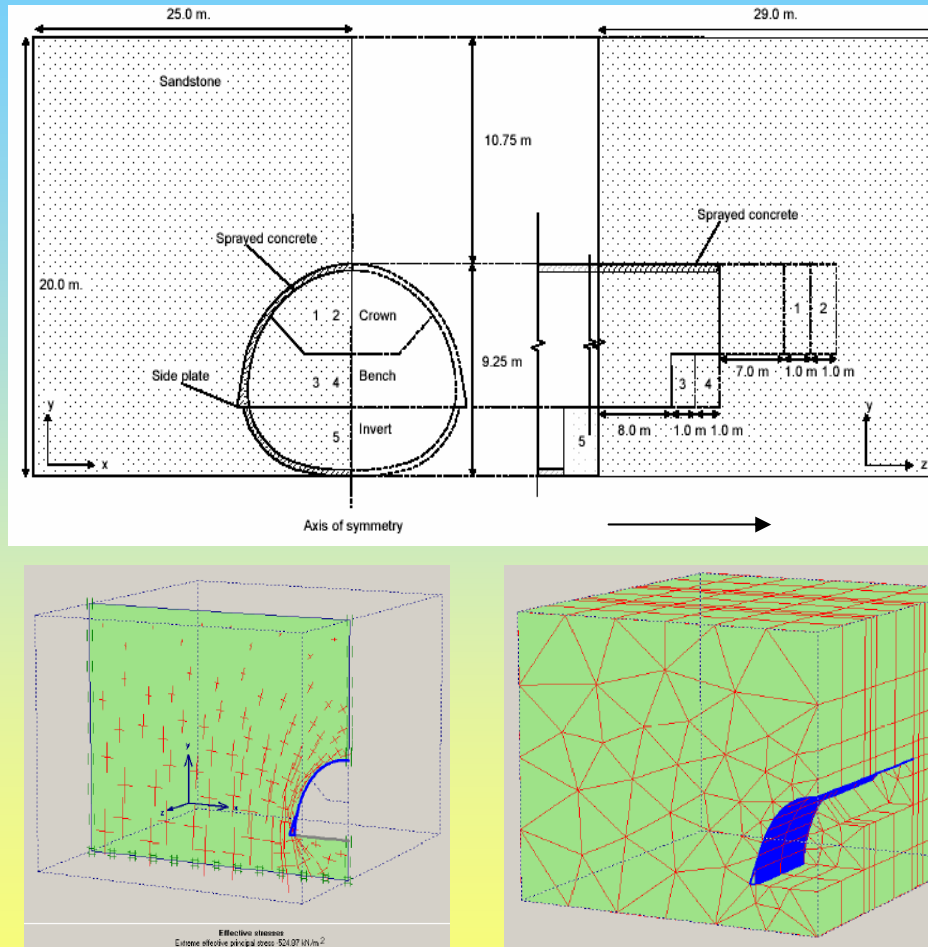


Lưới biến dạng trong khi đào theo giai đoạn Hầm tiết diện tròn



Movie: Lưới biến dạng \Rightarrow co bóp mặt cắt trong quá trình đào

Lưới biến dạng trong khi đào theo giai đoạn Đường hầm NATM

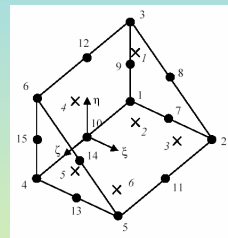
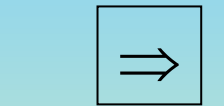
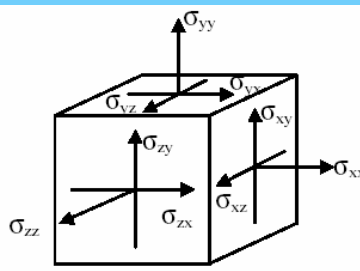
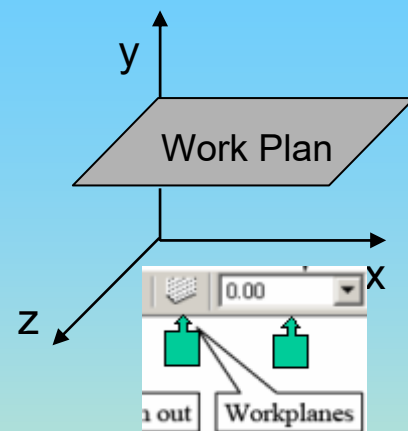
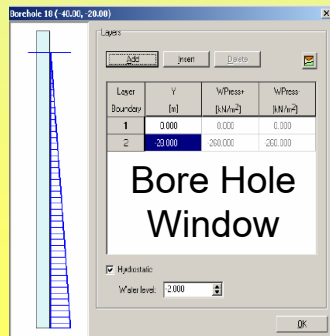
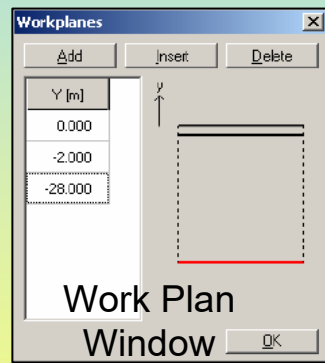
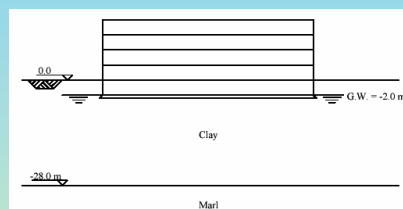
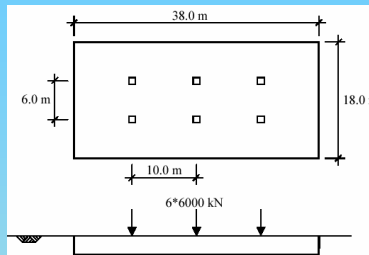


Phân bố các ứng suất hiệu quả
quanh đường hầm trên một mặt
phẳng vuông góc với trục hầm

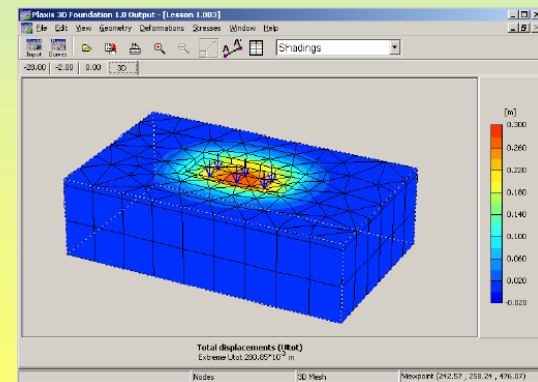
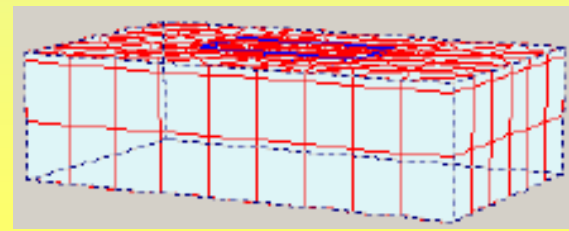
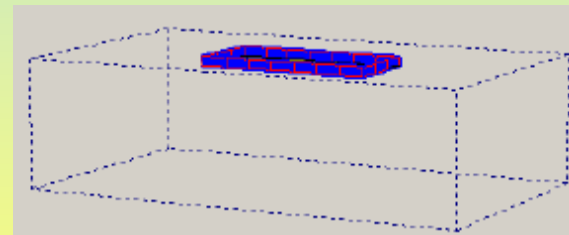
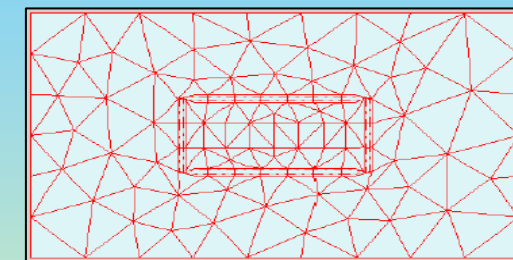
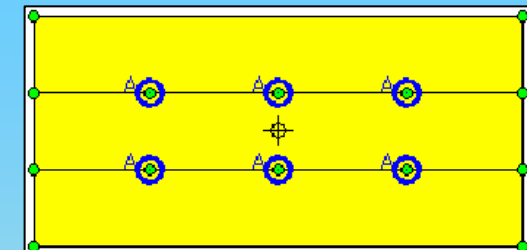
Lưới biến dạng và quá trình đào
Đường hầm NATM
(New Austrian Tunneling Method)³³



MH 3D – Foundation



PT nêm 15 nút,
6 điểm US

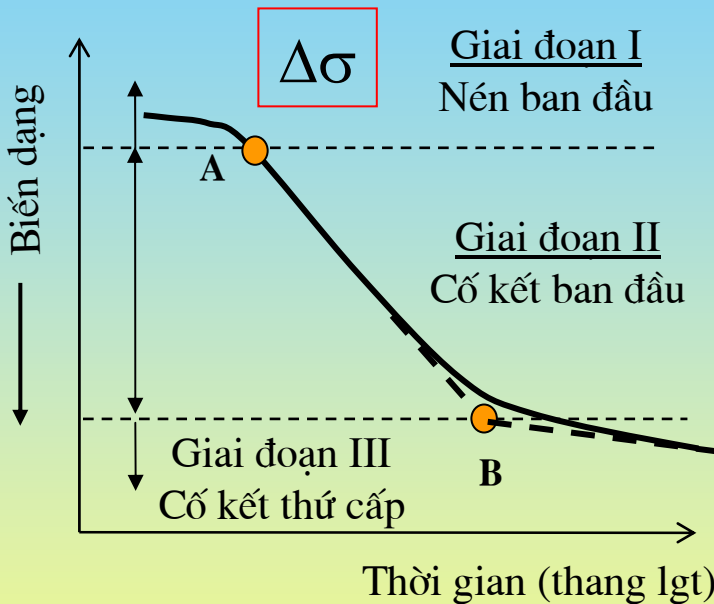


Shadings of total displacements
34

B.3. MH tính chất và đặc điểm vật liệu

1. Nhắc lại một số khái niệm.

• Ba giai đoạn biến dạng theo t.gian của mẫu đất - TN oedômet



không. Biến dạng cố kết thẩm chiếm khoảng 90% tổng biến dạng có thể đối với đất hạt mịn.

III. Biến dạng từ biến, kiểm soát bởi sự trượt lén nhau giữa các hạt đất qua màng nước liên kết sau khi cố kết thẩm kết thúc, tại áp suất hiệu quả không đổi

Tổng biến dạng

$$S = S_e + S_c + S_{cr}$$

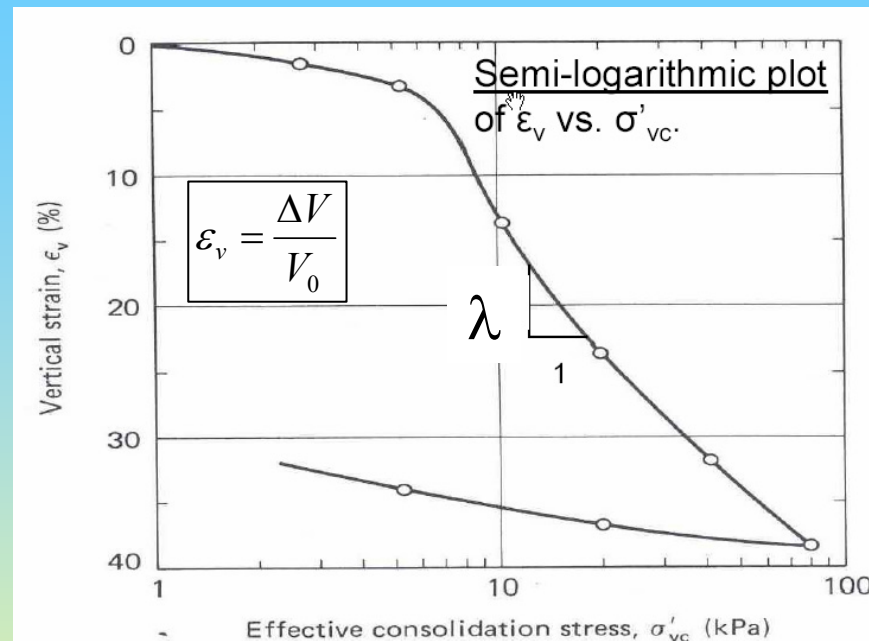
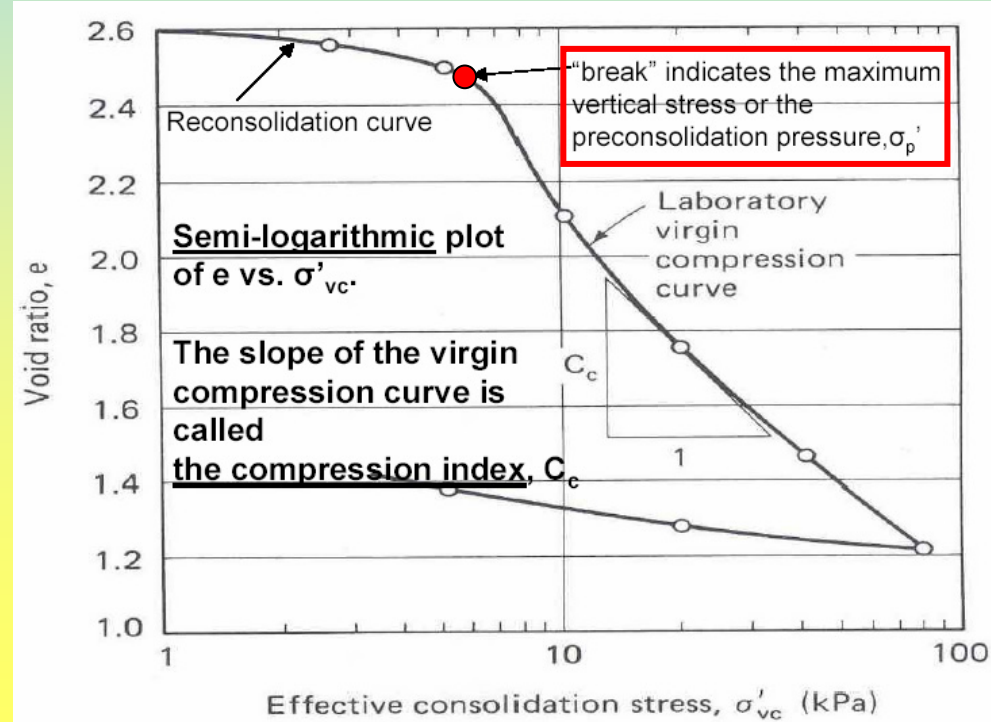
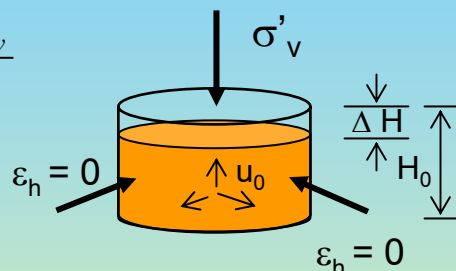
• Biểu thị kết quả TN nén ödômet theo bán lôgarit

$$C_c = \frac{-de}{d \log \sigma'_{v_0}} = \frac{e_1 - e_2}{\log \sigma'_2 - \log \sigma'_1} = \frac{\Delta e}{\log \frac{\sigma'_2}{\sigma'_1}}$$

$$\sigma'_2 = \sigma'_{v0} + \Delta \sigma_v$$

$$s_c = C_c \frac{H_0}{1+e_0} \log \frac{\sigma'_{v0} + \Delta \sigma_v}{\sigma'_{v0}}$$

C_c - chỉ số nén



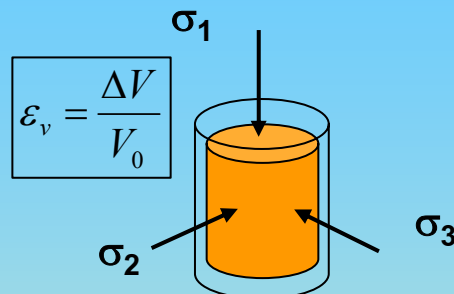
$$\lambda = \frac{\Delta \epsilon_v}{\log \frac{\sigma'_2}{\sigma'_1}}$$

$$s_c = \lambda \cdot H_0 \log \frac{\sigma'_{v0} + \Delta \sigma_v}{\sigma'_{v0}}$$

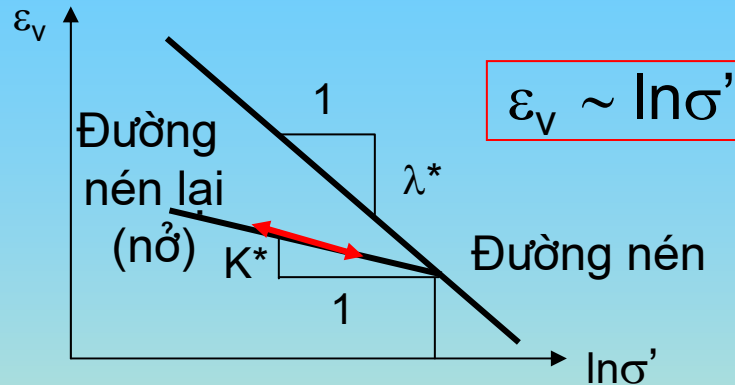
$$\lambda = \frac{C_c}{1 + e_0}$$

λ - chỉ số nén thể tích

• Biểu thị kết quả TN nén ba trục dang hướng



$$\sigma_1 = \sigma_2 = \sigma_3$$



Xác định λ^* và k^* cải biên theo các cách viết khác nhau

Cam-clay: $\lambda^* = \frac{\lambda}{1+e}$

Quốc tế: $\lambda^* = \frac{C_c}{2.3(1+e_0)}$

$$k^* = \frac{k}{1+e}$$

$$k^* = \frac{C_s}{2.3(1+e_0)}$$

λ^* - HS nén cải biên

k^* - HS nén lại (nở) cải biên

$$\ln(x) = \ln(10) \log_{10}(x) \Rightarrow \log_{10}(x) = \ln(x) / \ln(10) \text{ vì } \ln 10 = 2.3$$

2. Các MH tính chất vật liệu

2.1. §àn hồi tuyến tính đẳng hướng [BD tuyến tính đẳng hướng]

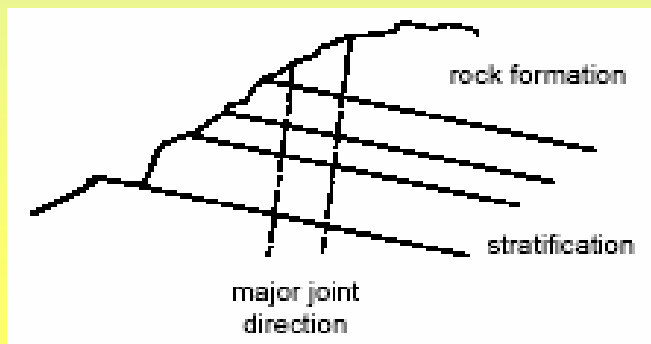
QH tốc độ US hiệu quả và tốc độ biến dạng:

$$\underline{\sigma} = \underline{\underline{M}} \underline{\varepsilon}$$

Trong đó: M – ma trận cứng, và *không tồn tại áp lực lõi rỗng*:

$$\begin{bmatrix} \dot{\sigma}_{xx} \\ \dot{\sigma}_{yy} \\ \dot{\sigma}_{zz} \\ \dot{\sigma}_{xy} \\ \dot{\sigma}_{yz} \\ \dot{\sigma}_{zx} \end{bmatrix} = \frac{E}{(1-2\nu)(1+\nu)} \begin{bmatrix} 1-\nu & \nu & \nu & 0 & 0 & 0 \\ \nu & 1-\nu & \nu & 0 & 0 & 0 \\ \nu & \nu & 1-\nu & 0 & 0 & 0 \\ 0 & 0 & 0 & \frac{1}{2}-\nu & 0 & 0 \\ 0 & 0 & 0 & 0 & \frac{1}{2}-\nu & 0 \\ 0 & 0 & 0 & 0 & 0 & \frac{1}{2}-\nu \end{bmatrix} \begin{bmatrix} \dot{\varepsilon}_{xx} \\ \dot{\varepsilon}_{yy} \\ \dot{\varepsilon}_{zz} \\ \dot{\gamma}_{xy} \\ \dot{\gamma}_{yz} \\ \dot{\gamma}_{zx} \end{bmatrix}$$
$$G = \frac{E}{2(1+\nu)}$$
$$E_{oed} = \frac{(1-\nu)E}{(1-2\nu)(1+\nu)}$$
$$K = \frac{E}{3(1-2\nu)}$$

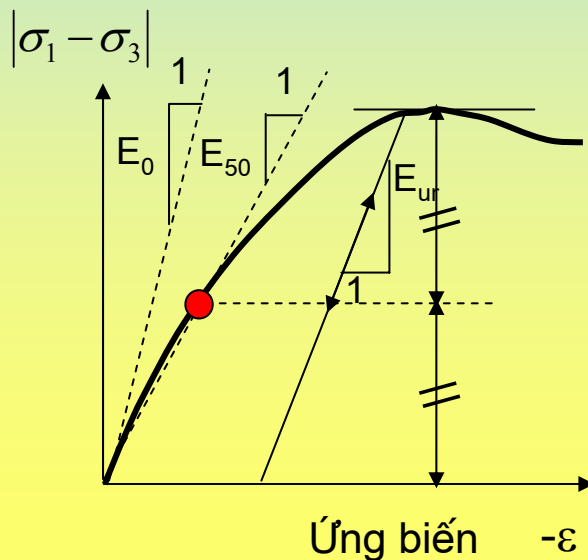
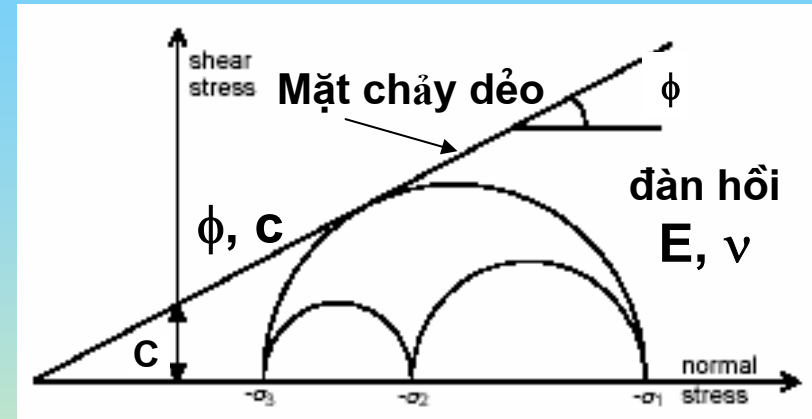
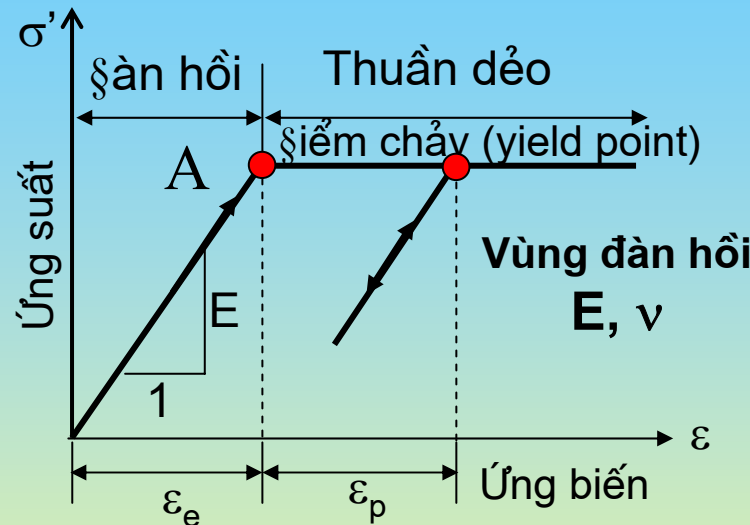
2.2. §àn hồi tuyến tính bất đẳng hướng – MH đá phân tầng



- Theo nguyên tắc, các PT US, biến dạng trên được viết theo ba hướng với các đặc trưng vật liệu theo ba hướng;
- Khối đá bất đẳng hướng: $E_1, E_2, \nu_1, \nu_2, G_2, c_i, \phi_i, \psi_i$ và US kéo giới hạn.

MH tính chất vật liệu trong PLAXIS

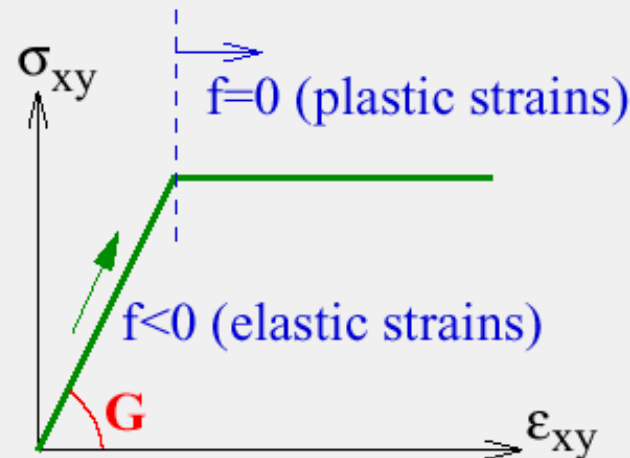
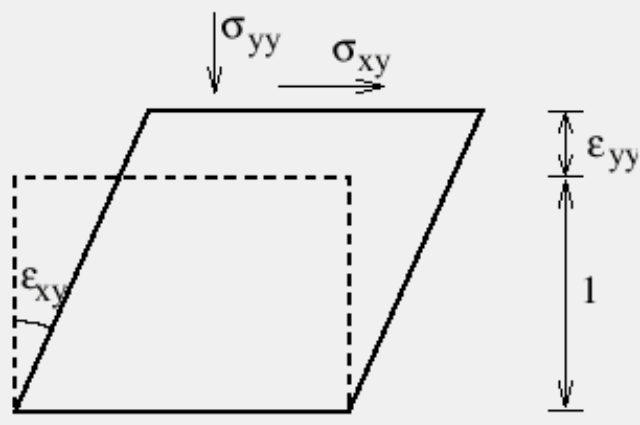
2.3. §àn dẻo (Mohr-Coulomb - MC) – 5 thông số MH: E, v; ϕ , c, ψ



- Chọn E :
 - Phạm vi đàn hồi rộng, dùng E_0
 - Khi gia tải trên đất: dùng E_{50}
 - Khi nén lại (đào tunen, hố đào): E_{ur}
- Xét đặc tính quá nén, điều kiện ban đầu khi phân tích biến dạng và xét sự tăng độ cứng và độ bền dính c theo chiều sâu

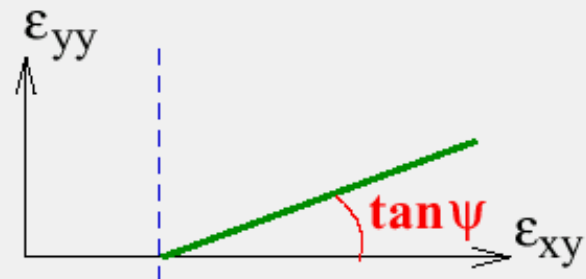
MH Mohr – Coulomb

Simple shear test (drained)



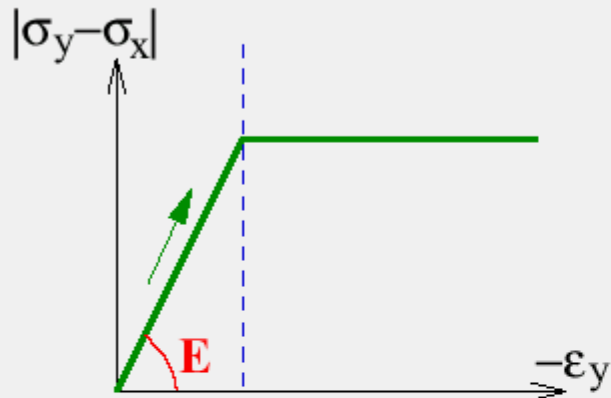
$$G = \frac{E}{2(1 + \nu)}$$

$$\tan \psi = \frac{\Delta \epsilon_{yy}}{\Delta \epsilon_{xy}}$$

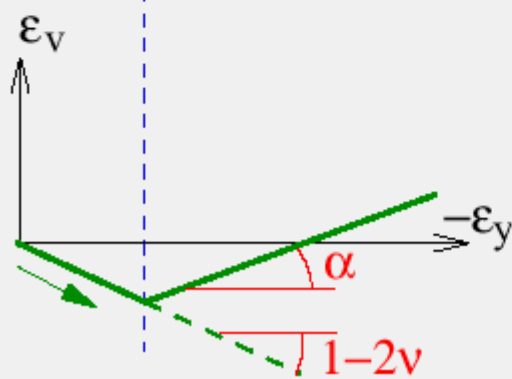


MH Mohr – Coulomb

Triaxial test (drained)



$$E = \frac{\Delta |\sigma_y - \sigma_x|}{\Delta |\varepsilon_y|} = 2G(1 + \nu)$$



$$\varepsilon_v = 2\varepsilon_x + \varepsilon_y$$

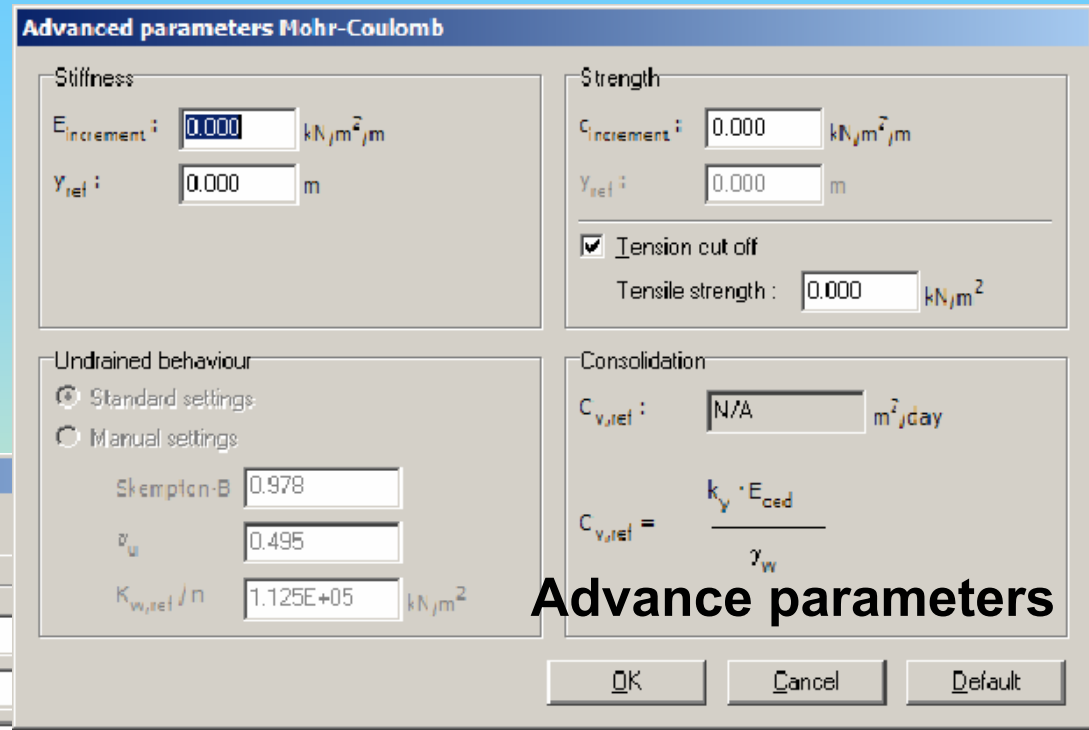
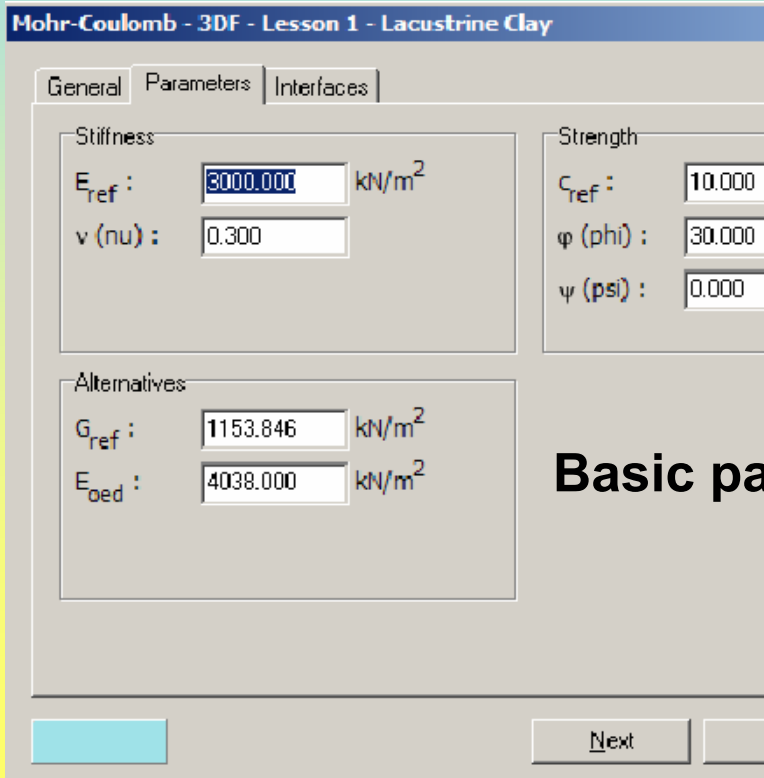
$$\tan \alpha = \frac{2 \sin \psi}{1 - \sin \psi}$$

MH tính chất vật liệu trong PLAXIS

Cửa sổ cho các thông số
MH MC

E_{50}^{ref} TN nén ba trục

E_{oed} TN Oedômet



Basic parameters

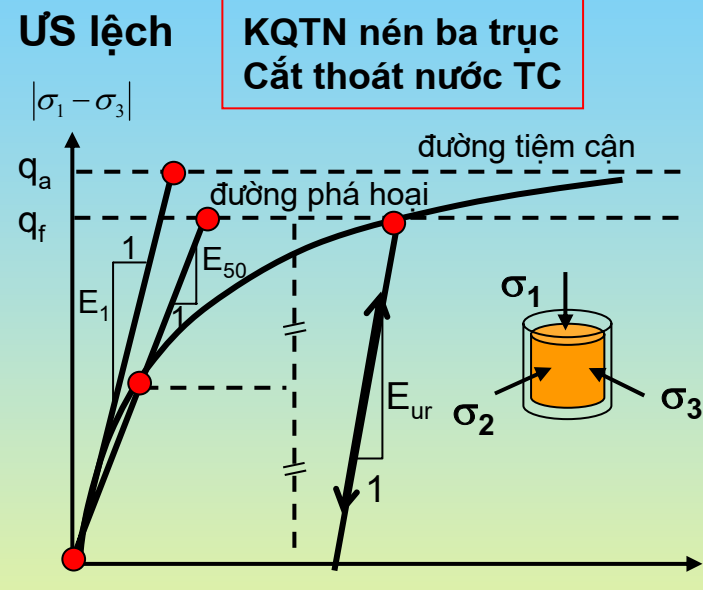
$$E_{oed} = \frac{2G(1-\nu)}{1-2\nu}$$

$$G = \frac{E}{2(1+\nu)}$$

$$E_{oed} = \frac{(1-\nu)E}{(1-2\nu)(1+\nu)}$$

MH tính chất vật liệu trong PLAXIS

2.4. Hardening Soil M (HS) [isotropic hardening]



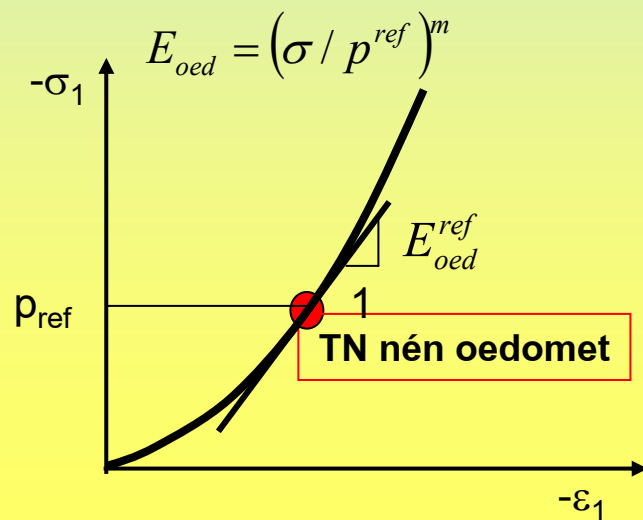
- Quan hệ $q = \sigma_1 - \sigma_3 \approx \varepsilon$ (đường cong)
- Các đặc trưng vật liệu c, ϕ, Ψ

$$M \approx 0.5, E_{50}^{ref}, E_{oed}^{ref}, E_{ur}^{ref} = 3E_{50}^{ref}, \nu_{ur} = 0.2$$

$$p_{ref} = 100 \text{đv US}, K_0^{nc} = 1 - \sin \phi$$

$$R_f = q_f / q_a (R_f = 0.9) - \text{hệ số phá hoại}$$

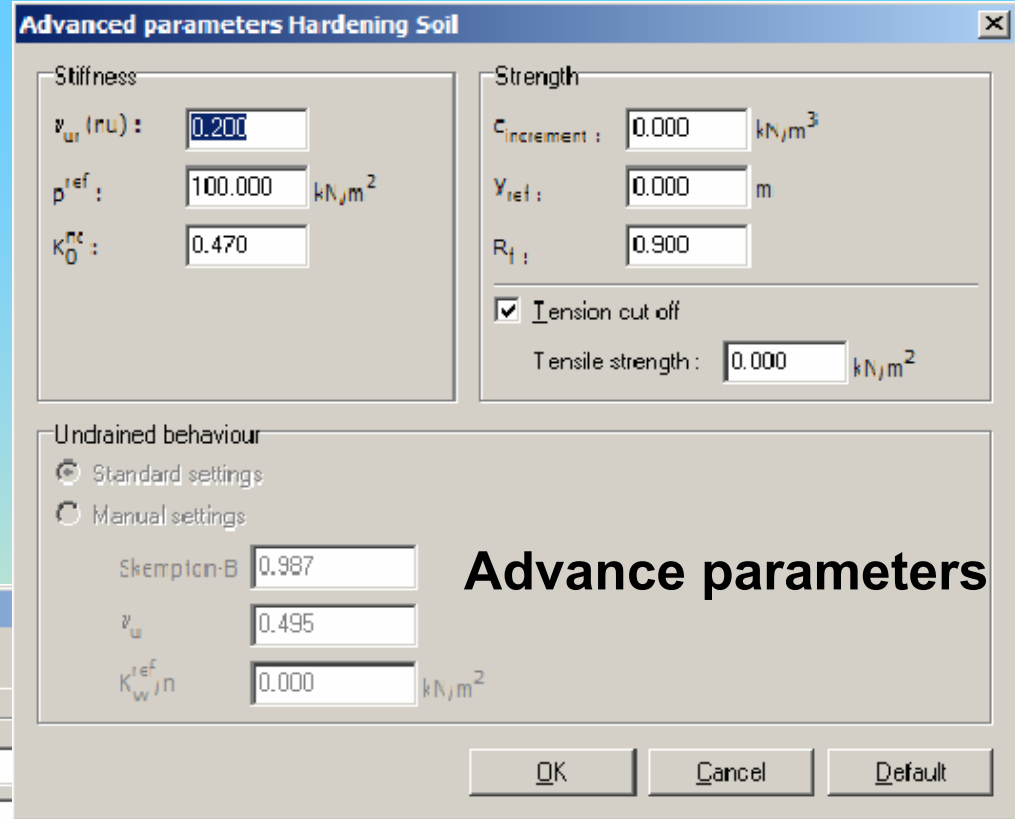
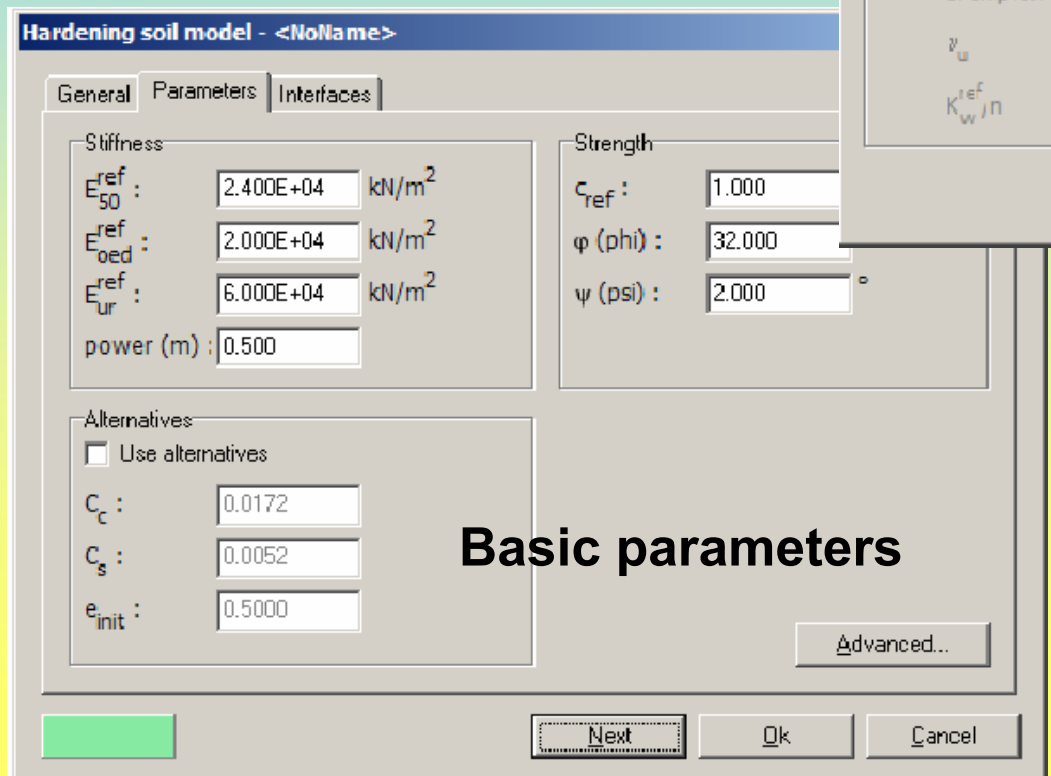
$$\sigma_{tension} = 0, c_{increment} = 0$$



$$E_{oed}^{ref} = \frac{p^{ref}}{\lambda^*} \quad \text{với} \quad \lambda^* = \frac{\lambda}{(1+e)}$$

$$E_{ur}^{ref} = \frac{2p^{ref}}{k^*} \quad \text{với} \quad k^* = \frac{k}{(1+e)}$$

Cửa sổ cho các thông số MH HS



$$E_{\text{oed}} = \frac{2G(1-\nu)}{1-2\nu}$$

$$G = \frac{E}{2(1+\nu)}$$

$$E_{\text{oed}} = \frac{(1-\nu)E}{(1-2\nu)(1+\nu)}$$

MH tính chất vật liệu trong PLAXIS

* Các PT về từ biến theo thí nghiệm oedômet

- Buisman (1936): $\varepsilon = \varepsilon_c - C_B \log\left[\frac{t}{t_c}\right] \Rightarrow \varepsilon = \varepsilon_c - C_B \log\left(\frac{t_c + t'}{t_c}\right)$ $\begin{cases} \text{với } t > t_c \\ \text{và } t' > 0 \end{cases}$

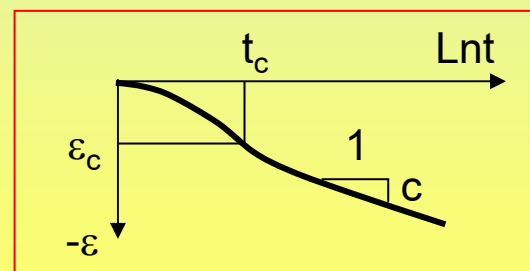
↓
Biến dạng cố kết thẩm

- Bjerrum (1967)& Garlanger (1972): $e = e_c - C_\alpha \log\left(\frac{\tau_c + t'}{\tau_c}\right)$ $\begin{cases} e - HS rỗng \\ C_\alpha = C_B(1+e_0) \\ t' > 0 \end{cases}$

- Butterfield (1979) & Den Haan (1994): $\varepsilon^H = \varepsilon_c^H - C \ln \frac{\tau_c + t'}{\tau_c}$

Trong đó: $\varepsilon^H = \ln\left(\frac{V}{V_0}\right) = \ln\left(\frac{1+e}{1+e_0}\right)$

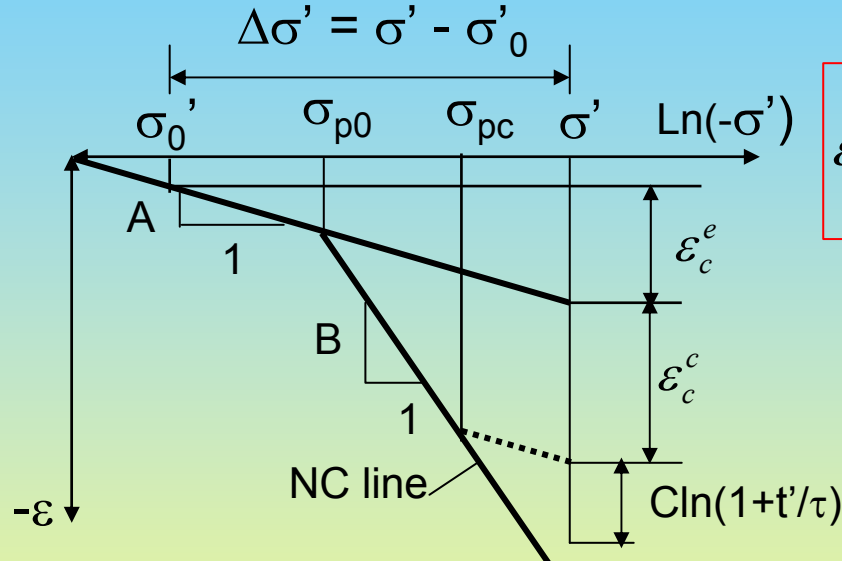
Khi biến dạng nhỏ: $C = \frac{C_\alpha}{(1+e_0)\ln 10} = \frac{C_B}{\ln 10}$



MH tính chất vật liệu trong PLAXIS

2.5. Soft-soil-creep M (SSC) [đất sét, bụi cố kết thông thường, bùn]

PT từ biến (nén oedômet)



$$\varepsilon = \varepsilon^e + \varepsilon^c = -A \ln \frac{\sigma'}{\sigma_0'} - B \ln \frac{\sigma_{pc}}{\sigma_{p0}} - C \ln \left(\frac{\tau_c + t'}{\tau_c} \right)$$

ε - logarit tổng biến dạng

σ_0' , σ' - US hiệu quả ban đầu và cuối cùng sau gia tải

σ_{p0} , σ_{pc} – AS tiền cố kết ứng với trước gia tải và cuối sau cố kết thấm

$$A = \frac{C_r}{(1 + e_0) \cdot \ln 10} = \frac{C_r}{2.3(1 + e_0)}$$

$$B = \frac{(C_c - C_r)}{(1 + e_0) \cdot \ln 10} = \frac{(C_c - C_r)}{2.3(1 + e_0)}$$

$$C = \frac{C_\alpha}{(1 + e_0) \cdot \ln 10} = \frac{C_B}{2.3}$$

C_r – swelling Index;
 C_c – compression Index

Cửa sổ cho các thông số MH SSC

Advanced parameters Soft Soil Creep

Cap	
ν_u (nu) :	0.150
K_0^{nc} :	0.703
M :	1.031

Basic parameters

Soft soil creep model - <NoName>

General Parameters Interfaces

Stiffness	Strength
λ^* (lambda*) : 0.100	c : 2.000 kN/m ²
κ^* (kappa*) : 0.020	ϕ (phi) : 26.000 °
μ^* (mu*) : 5.000E-03	ψ (psi) : 0.000 °

Alternatives

Use alternatives

C_c :	0.3450
C_s :	0.0345
C_α :	0.0173
e_{init} :	0.5000

Advanced..

Next **Ok** **Cancel**

Undrained behaviour

Standard settings Manual settings

Advance parameters

Skempton-B	0.989
r_u	0.495
K_w^{ef}	4500.000 kN/m ²

OK **Cancel** **Default**

$$\lambda^* = \frac{C_c}{(1 + e_0) \cdot \ln 10} = \frac{C_c}{2.3(1 + e_0)}$$

$$k^* = \frac{C_\alpha}{(1 + e_0) \cdot \ln 10} = \frac{C_s}{2.3(1 + e_0)}$$

$$\mu^* = \frac{C_\alpha}{2.3(1 + e_0)}$$

Tóm tắt các thông số mô hình dùng trong Plaxis

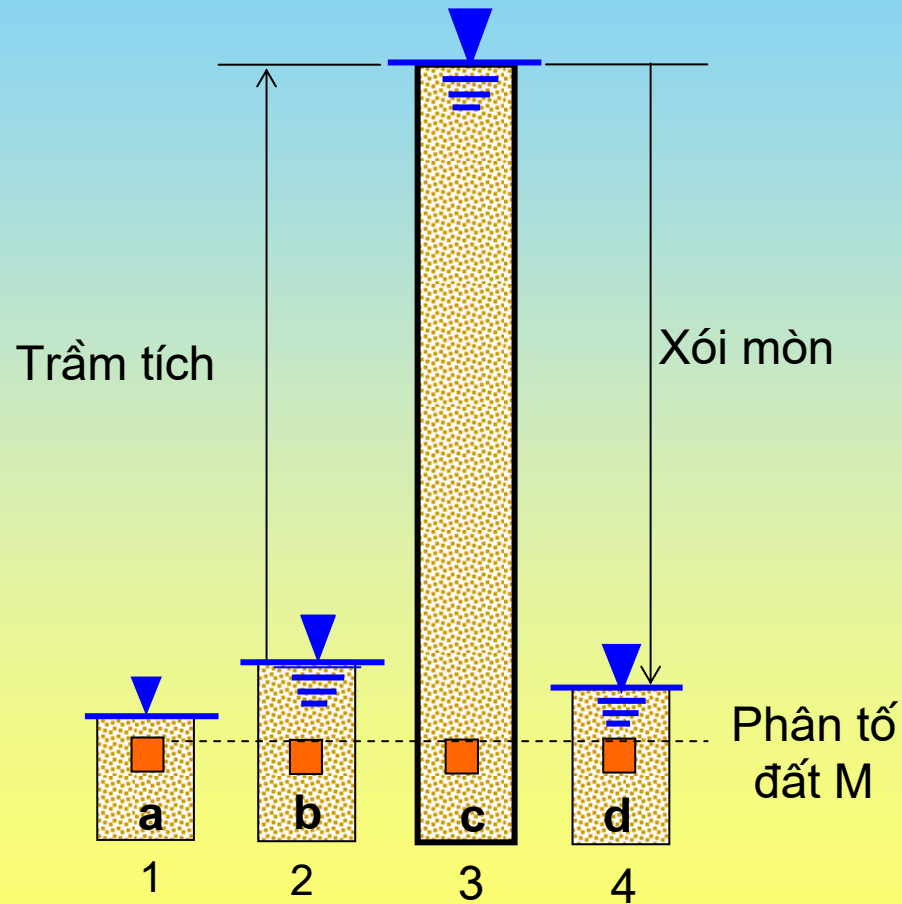
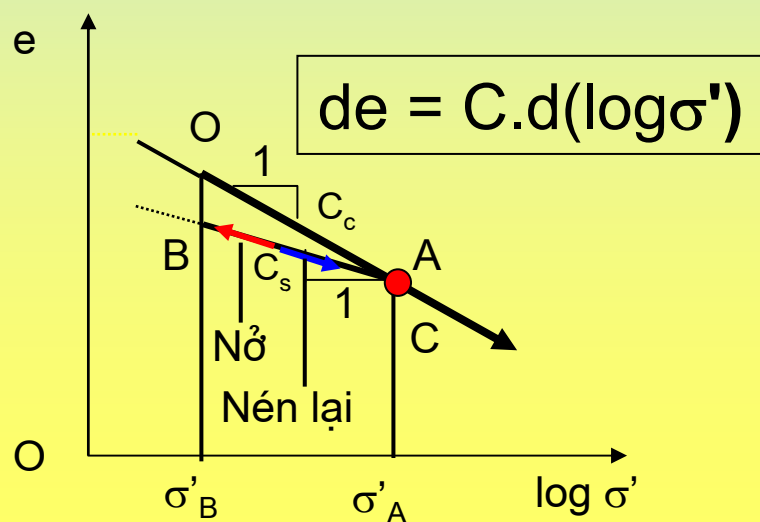
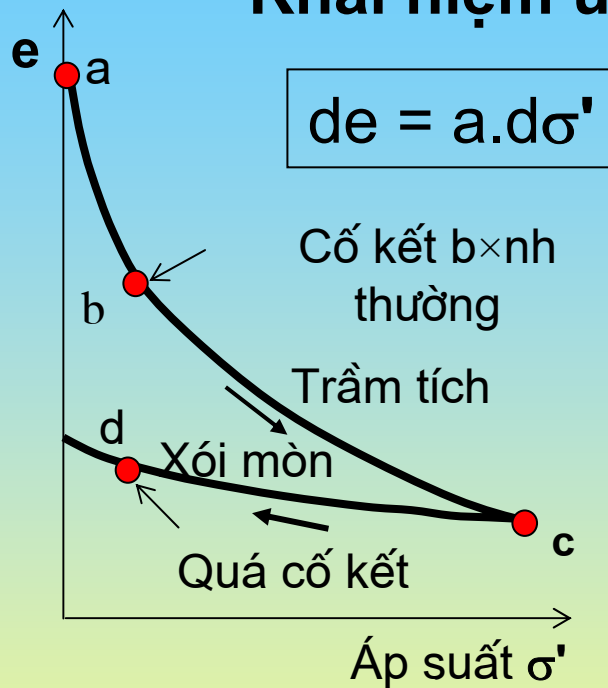
Thông số Mô hình	Độ bền			Độ cứng							
	ϕ (độ)	c (kPa)	Ψ (độ)	ν (-)	E_{oed} (kPa)	E_{50}^{ref} (kPa)	m (-)	λ^* (-)	k^* (-)	μ^* (-)	
Linear Elastic M				X	X	X					
Mohr Coulomb M	X	X	X	X	(X)	X					
Hardening soil M	X	X	X	X	X	X	X				
Soft Soil Creep M	X	X	X	X				X	X	X	
Soft Soil (Cam Clay)	X	X	X	X				X	X		

Ứng dụng các MH vật liệu

Phạm vi áp dụng	Mô hình vật liệu			
	Mohr Coulomb M	Hardening Soil M	Soft Soil Creep M	Soft Soil M
Khối đắp		X	X	X
Hố đào		X		
Tunen		X	X	
Tính lún			X	X
TN Oedomet			X	X
TN nén ba trục		X	X	X
Phụ thuộc thời gian (Creep)	X		X	

MH đặc điểm và điều kiện làm việc của vật liệu

* Khái niệm ứng suất lịch sử hiện trường



MH đặc điểm và điều kiện làm việc của vật liệu

Lịch sử cố kết của đất

*Soils have a “**memory**” of the stress and other changes that have occurred during their history, and these changes are preserved in the soil structure (Casagrande, 1932).*

- Hệ số quá cố kết (over consolidated ratio) $OCR = \frac{\sigma'_p}{\sigma'_{v0}}$

$OCR = 1$ – Cố kết thông thường (normally consolidated) [NC]

$OCR > 1$ – Quá cố kết (overly consolidated) [OC]

$OCR < 1$ – Chưa nén tới (under consolidated) [chưa đạt cân bằng dưới tác dụng tầng phủ]

MH đặc điểm và điều kiện làm việc của vật liệu

Cơ chế gây tiền cố kết

TABLE 8-1 Mechanisms Causing Preconsolidation*

Mechanism	Remarks and References
Change in total stress due to: Removal of overburden Past structures Glaciation	Geologic erosion or excavation by man
Change in pore water pressure due to: Change in water table elevation Artesian pressures Deep pumping; flow into tunnels Desiccation due to surface drying Desiccation due to plant life	Kenney (1964) gives sea level changes Common in glaciated areas Common in many cities May have occurred during deposition May have occurred during deposition
Change in soil structure due to: Secondary compression (aging)†	Raju (1956) Leonards and Ramiah (1959) Leonards and Altschaeffl (1964) Bjerrum (1967, 1972)
Environmental changes such as pH, temperature, and salt concentration	Lambe (1958a and b)
Chemical alterations due to "weathering," precipitation, cementing agents, ion exchange	Bjerrum (1967)
Change of strain rate on loading‡	Lowe (1974)

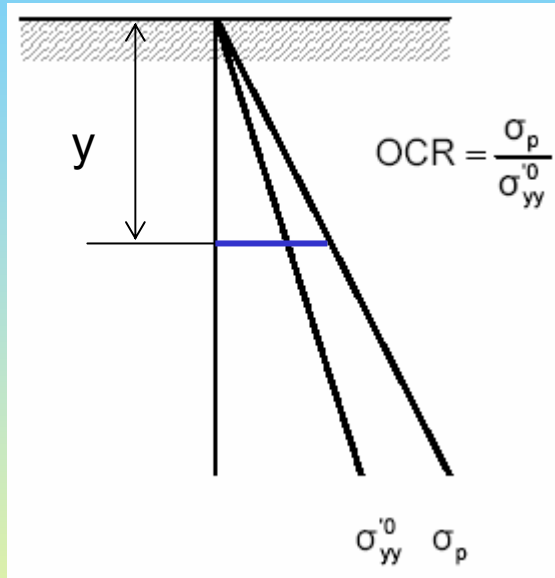
* After Brumund, Jonas, and Ladd (1976).

† The magnitude of σ'_p/σ'_{eo} related to secondary compression for mature natural deposits of highly plastic clays may reach values of 1.9 or higher.

‡ Further research is needed to determine whether this mechanism should take the place of secondary compression.

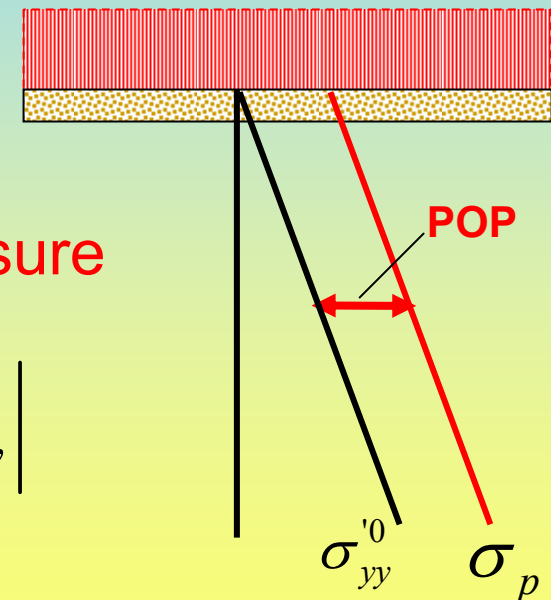
MH đặc điểm và điều kiện làm việc của vật liệu

- Initial Preconsolidation Stress \Rightarrow Advance Model



Over Consolidation Ratio

$$OCR = \frac{\sigma_p}{\sigma_{yy}^0}$$



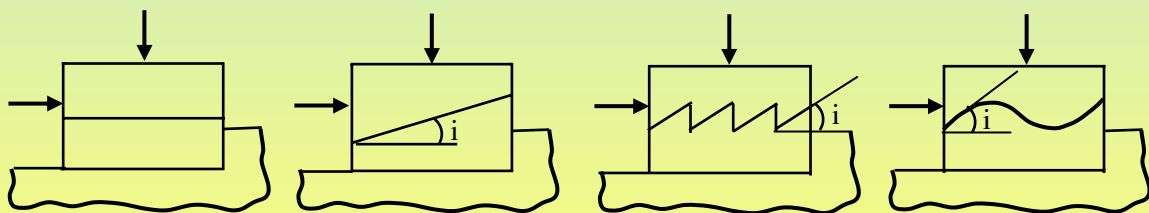
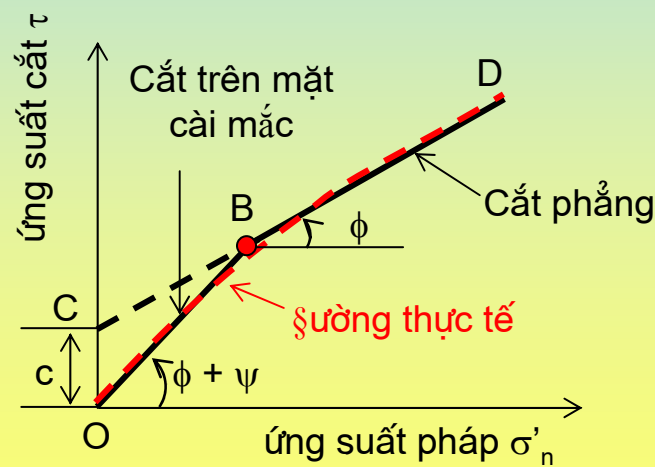
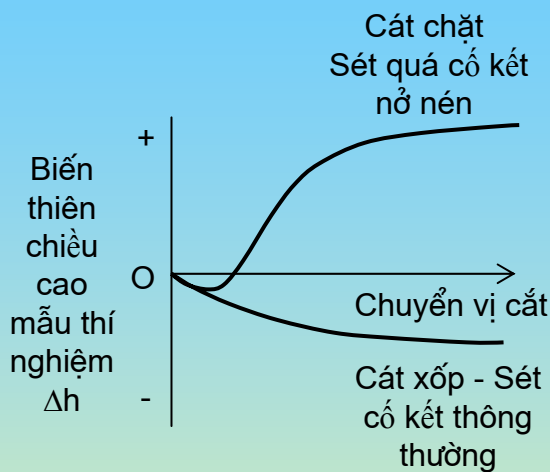
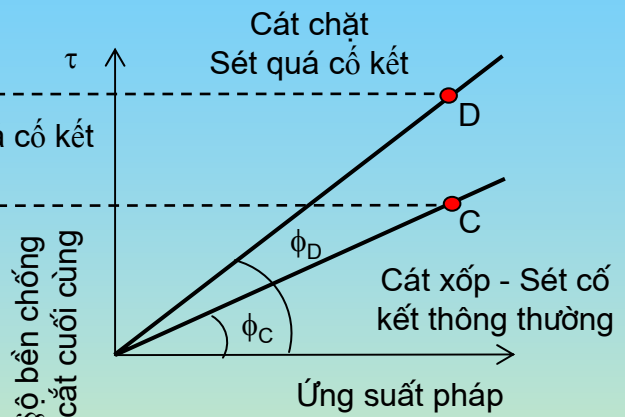
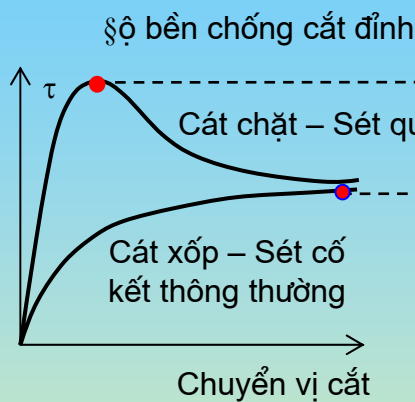
Pre-Overburden Pressure

$$POP = |\sigma_p - \sigma_{yy}^0|$$

Dùng cho MH đất mềm yếu (từ biến) và MH đất tăng bền

MH đặc điểm và điều kiện làm việc của vật liệu

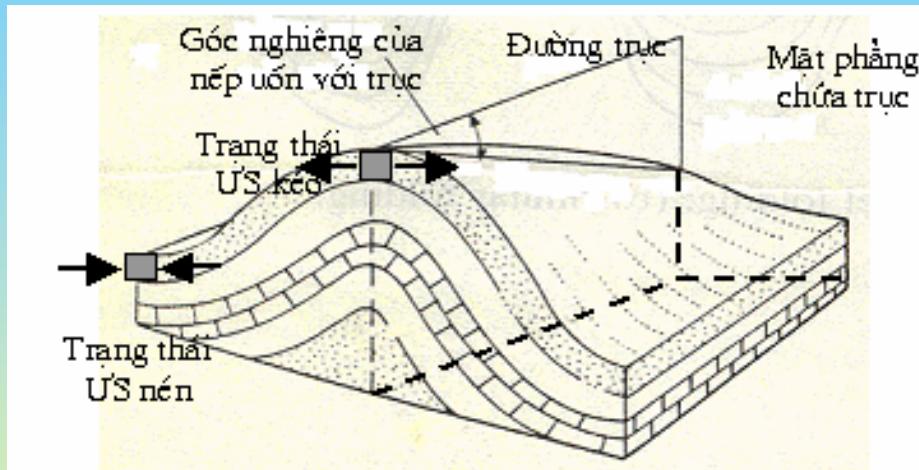
- Cắt nở, cắt nén và góc ψ



Thường $\psi < \phi$. Plaxis lấy $\psi = \phi - 30^\circ$ cho cát thạch anh.
Chỉ dùng cho cát chặt hoặc đất dính quá cố kết

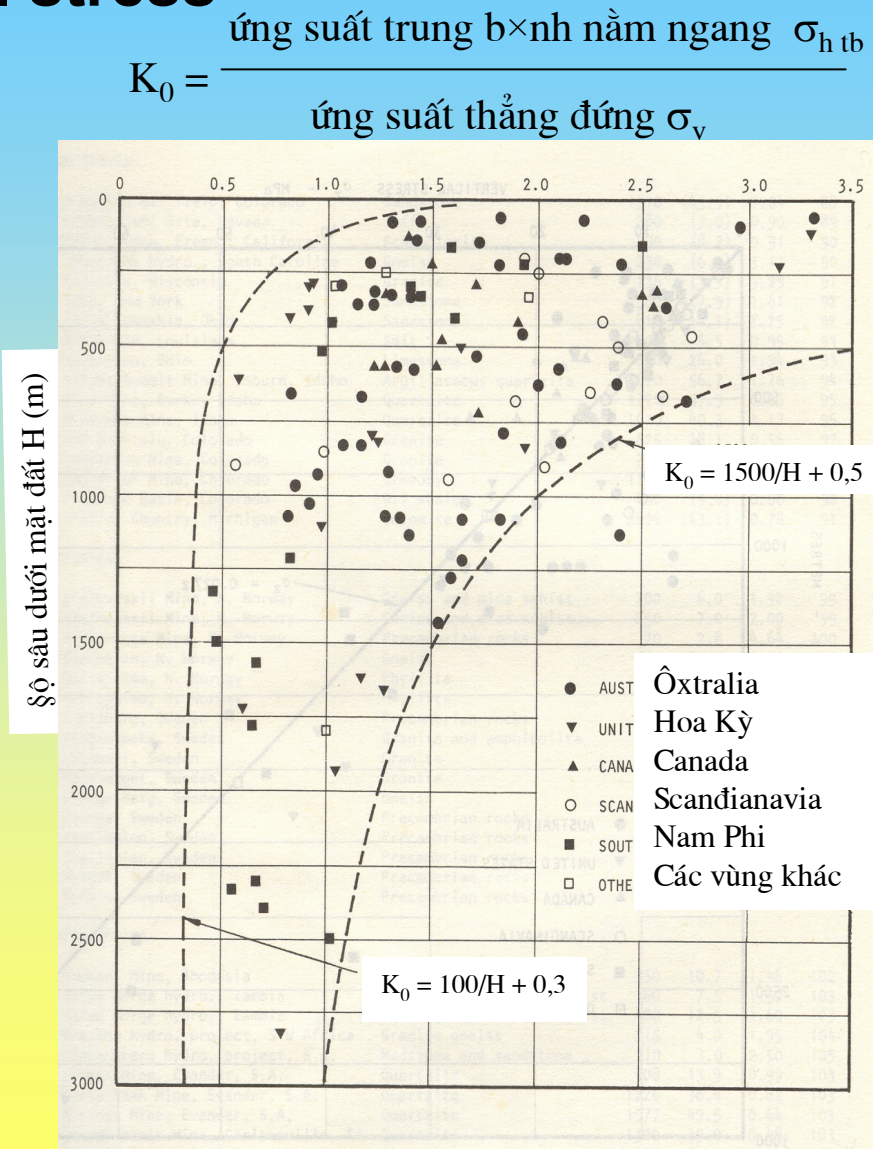
MH đặc điểm và điều kiện làm việc của vật liệu

• Hệ số áp lực hông K_0 và Initial stress



K_0 tự nhiên và điều kiện hoạt động kiến tạo của quả đất

Địa kỹ thuật công trình
Sổ tay Kỹ thuật Thuỷ lợi
(Nhà XB Nông nghiệp 2006)



MH đặc điểm và điều kiện làm việc của vật liệu

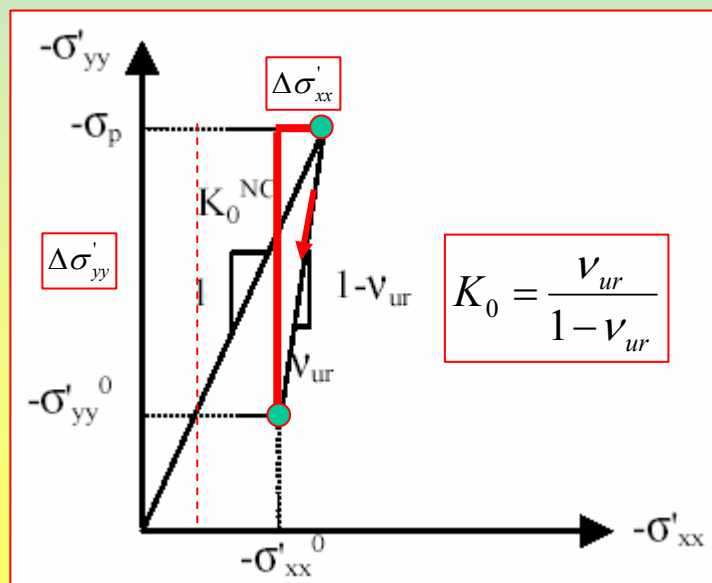
- Hệ số áp lực hông K_0 và “Initial stress”

$$K_0^{NC} = \frac{\sigma'_3}{\sigma'_1} = \frac{\sigma'_3}{\sigma_p} \Rightarrow \sigma'_3 = \sigma'_2 = K_0^{NC} \sigma_p \left\{ \begin{array}{l} \bullet \text{Hardening Soil: } K_0^{NC} = 1 - \sin \varphi \text{ Jaky} \\ \bullet \text{Soft Soil Creep: sấp sỉ Jaky} \end{array} \right.$$

K_0 - Procedure: HS áp lực hông của “Overconsolidated Soil” lớn hơn cùng giá trị của “Normally Consolidated”:

$$K_0^{OC} > K_0^{NC}$$

Dùng “ K_0 – Procedure” xác định U.S ban đầu: TN nén một hướng



$$\frac{\Delta \sigma'_{xx}}{\Delta \sigma'_{yy}} = \frac{K_0^{NC} \sigma_p - \sigma'^0_{xx}}{\sigma_p - \sigma'^0_{yy}} = \frac{K_0^{NC} OCR - \sigma'^0_{xx}}{(OCR - 1) \sigma'^0_{yy}} = \frac{\nu_{ur}}{1 - \nu_{ur}}$$

$$\Rightarrow \frac{\sigma'^0_{xx}}{\sigma'^0_{yy}} = K_0^{NC} OCR - \frac{\nu_{ur}}{1 - \nu_{ur}} (OCR - 1)$$

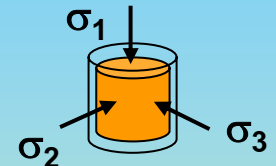
Chú ý: 1. ν nhỏ $\Rightarrow K_0$ lớn \Rightarrow đất quá nén;
 2. Trong điều kiện tự nhiên, K_0 còn tùy thuộc điều kiện hoạt động kiến tạo của quả đất

MH đặc điểm và điều kiện làm việc của vật liệu

* Hai điều kiện và phân tích **drained / undrained**

• ĐK **undrained**, hình thành áp lực lỗ rỗng dư

$$\Delta u \neq 0, \Delta \sigma \neq \Delta \sigma'$$



Khi - tính thấm của vật liệu nhỏ và tốc độ gia tải nhanh
- nước lỗ rỗng không kịp thoát ra hay chảy vào

• ĐK **drained**, không hình thành áp lực lỗ rỗng dư

$$\Delta u = 0, \Delta \sigma = \Delta \sigma'$$

khi

- tính thấm của vật liệu lớn và tốc độ gia tải chậm
- nước lỗ rỗng có thể thoát ra hay chảy vào

MH đặc điểm và điều kiện làm việc của vật liệu

* Ví dụ (hố đào sâu)

Theo Vermeer & Meier (1998) – Nhân tố thời gian T

$T < 0.10$ ($U < 10\%$) \rightarrow undrained analysis

$T > 0.40$ ($U > 70\%$) \rightarrow drained analysis

k = hệ số thấm

E_{oed} = độ cứng nén đơn (ơđômet)

γ_w = TL đơn vị của nước

D = chiều dài thoát nước

t = thời gian thi công

T = nhân tố thời gian

U = độ cố kết

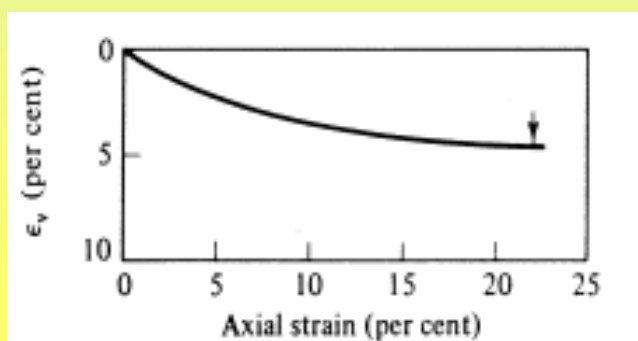
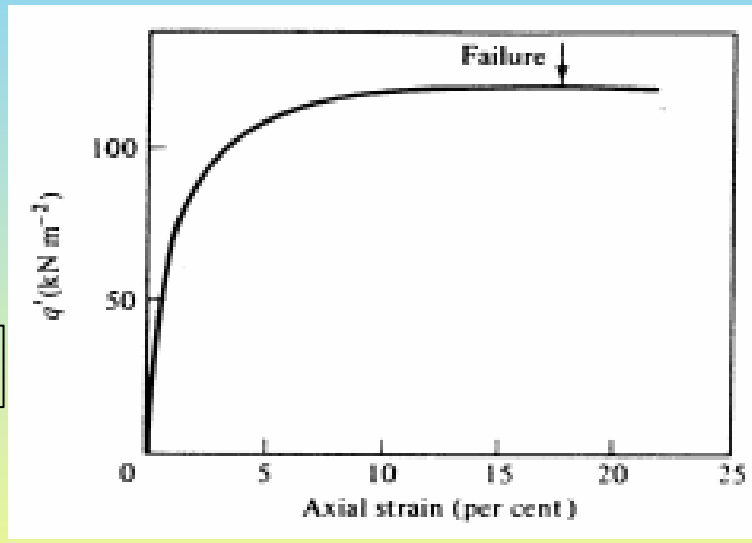
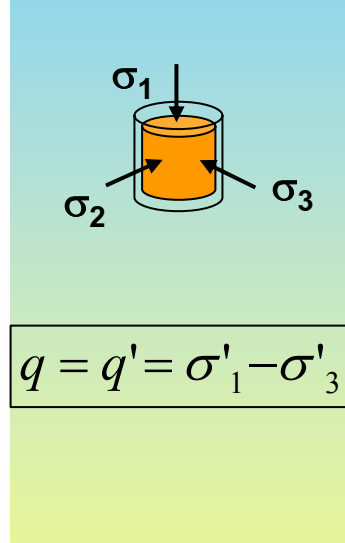
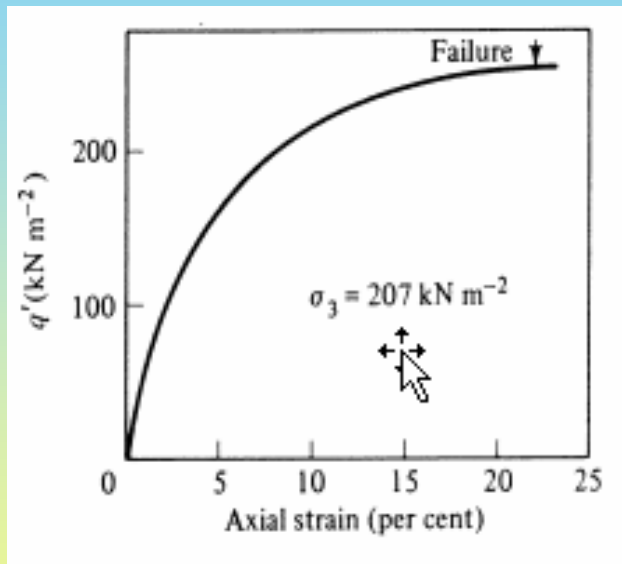
$$T = \frac{k E_{oed}}{\gamma_w D^2} t$$

MH đặc điểm và điều kiện làm việc của vật liệu

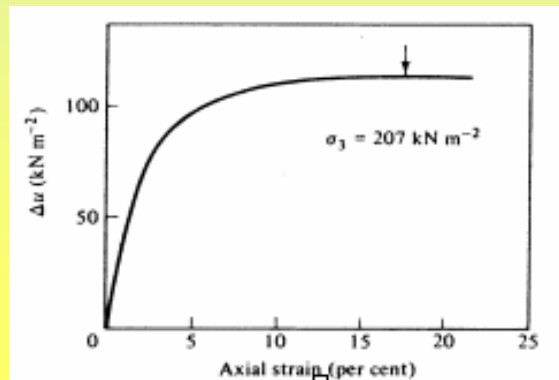
* TN nén ba trục (đất NC) – drained / undrained

drained

undrained



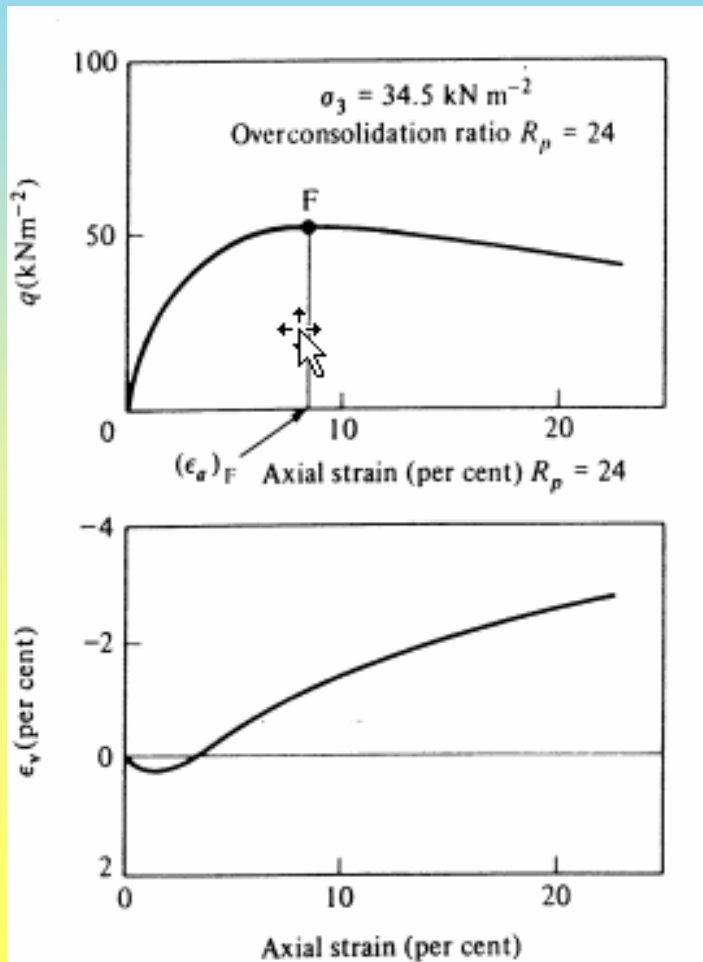
$$\mathcal{E}_v = \frac{\Delta V}{V_0}$$
$$\mathcal{E}_v = \mathcal{E}_1 + \mathcal{E}_2 + \mathcal{E}_3$$



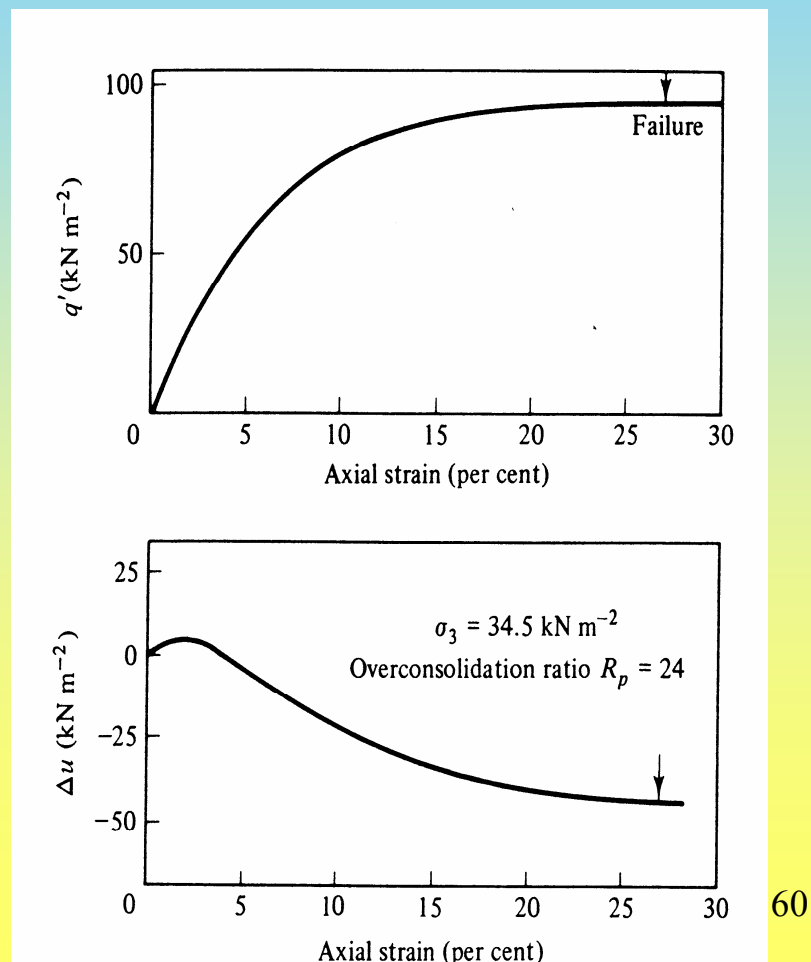
MH đặc điểm và điều kiện làm việc của vật liệu

* TN nén ba trục (đất OC) – drained / undrained

drained

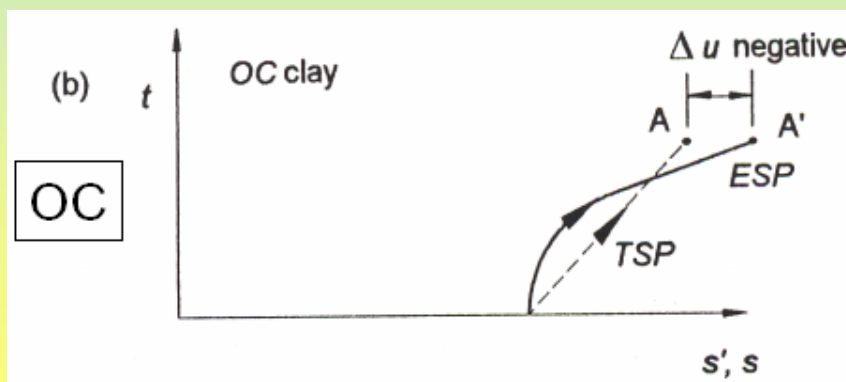
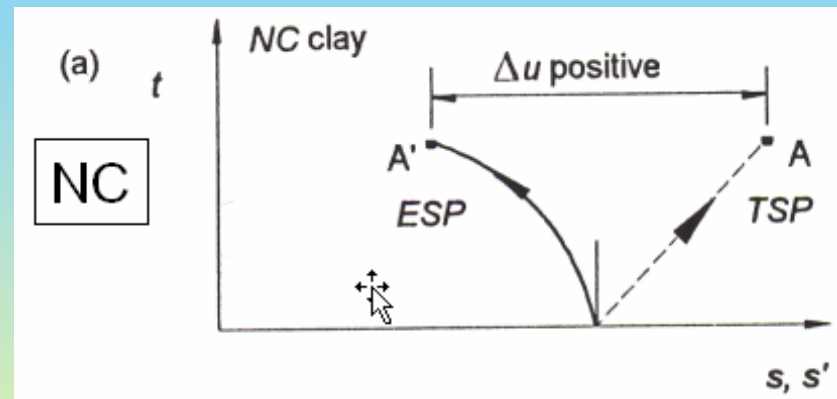


undrained

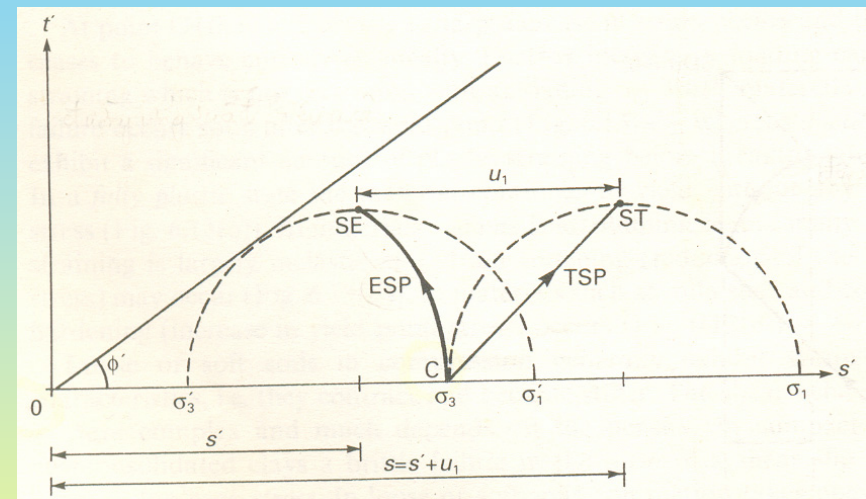


MH đặc điểm và điều kiện làm việc của vật liệu

* Các đường ứng suất trong TN nén ba trục undrained



ESP – effective stress path
TSP – total stress path



$$t = t' = \frac{\sigma_1 - \sigma_3}{2} = \frac{\sigma'_1 - \sigma'_3}{2}$$

$$s = \frac{\sigma_1 + \sigma_3}{2}$$

$$s' = \frac{\sigma'_1 + \sigma'_3}{2}$$

MH đặc điểm và điều kiện làm việc của vật liệu

* Thông số Skempton's A and B

Skempton 1954: $\Delta\sigma_w = B [\Delta\sigma_3 + A(\Delta\sigma_1 - \Delta\sigma_3)]$

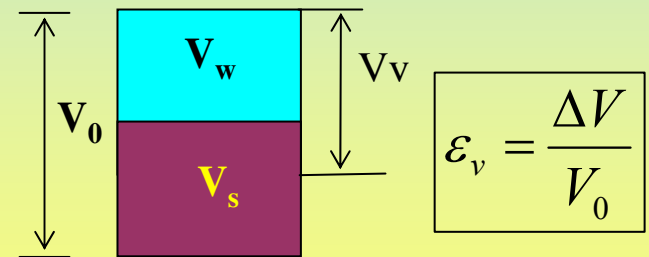
Nếu:

- đất hoàn toàn bão hòa
- nước lỗ rỗng không chảy vào/ra khỏi lỗ rỗng
- mô đun nén thể tích của hạt đất xem như rất lớn
- tính chất của vật liệu – tuyến tính đẳng hướng (§L Hooke)

$$\Delta\varepsilon_{vol, skeleton} = \Delta\varepsilon_{vol, pore water}$$

$$\Delta\varepsilon_{vol, skeleton} = \frac{\Delta\sigma'}{K'}$$

$$\Delta\varepsilon_{vol, pore water} = \frac{n \Delta\sigma_w}{K_w}$$



$$K' = \frac{E'}{3(1 - 2\nu')}$$

MH đặc điểm và điều kiện làm việc của vật liệu

* Thông số Skempton's A and B

Trong TN nén ba trục: $\Delta\sigma_1 ; \Delta\sigma_2 = \Delta\sigma_3$

$$\Delta\varepsilon_{vol, skeleton} = \Delta\varepsilon_{vol, pore water}$$



$$\Delta\sigma_w = \frac{\Delta\sigma_1 + 2\Delta\sigma_3 - 3\Delta\sigma_w}{3K'} \cdot \frac{K_w}{n}$$

$$\left\{ \begin{array}{l} \Delta\sigma_w = \frac{1}{1 + \frac{nK'}{K_w}} \left[\Delta\sigma_3 + \frac{1}{3} (\Delta\sigma_1 - \Delta\sigma_3) \right] \\ \Delta\sigma_w = B [\Delta\sigma_3 + A(\Delta\sigma_1 - \Delta\sigma_3)] \end{array} \right.$$

$$\text{Vậy } B = \frac{1}{1 + \frac{nK'}{K_w}} \quad A = \frac{1}{3}$$

MH hóa undrained theo Plaxis

PP. A - phân tích theo ***U.S hiệu quả:***

tính chất vật liệu: ***undrained***

thông số độ bền chống cắt \Rightarrow **hiệu quả: c' , φ' , ψ'**

thông số độ cứng \Rightarrow **hiệu quả: E_{50}' , ν'**

PP. B - phân tích theo ***U.S hiệu quả:***

tính chất vật liệu : ***undrained***

thông số độ bền chống cắt \Rightarrow **tổng: $c = c_u$, $\varphi = 0$, $\psi = 0$**

thông số độ cứng $\Rightarrow E_{50}', \nu'$

PP. C - phân tích theo ***U.S tổng)***:

tính chất vật liệu : ***drained***

thông số độ bền chống cắt \Rightarrow **tổng $c = c_u$, $\varphi = 0$, $\psi = 0$**

thông số độ cứng $\Rightarrow E_u$, $\nu_u = 0.495$

Thông số dùng trong tính toán:

$$E' = \frac{2}{3}(1 + \nu')E_u$$

$$G_u = G' = G$$

Whacamada